

บทที่ 2 ทฤษฎีและงานวิจัยที่เกี่ยวข้อง

2.1 โลหะเงินบริสุทธิ์

เงินเป็นโลหะที่หายากและมีราคาสูง จึงถูกจัดอยู่ในกลุ่มโลหะมีค่า เช่นเดียวกับ ทองคำ โลหะเงินมี หมายเลขอะตอม 47 และสัญลักษณ์คือ Ag เงินเป็นโลหะทранซิชันสีขาว มีสมบัติการนำความร้อน และไฟฟ้าได้ดีมาก ในธรรมชาติอาจรวมอยู่ในแร่อื่นๆ หรืออยู่อิสระ เงินใช้ประโยชน์ในการทำ เครื่องประดับ ภาชนะบนโต๊ะอาหาร และอุตสาหกรรมการค้ายก [8]

โลหะเงินบริสุทธิ์เป็นโลหะที่มีสีขาวมันวาว สะท้อนแสงดี มีโครงสร้างพลิกเป็น FCC (Face Center-Cubic) สามารถนำไฟฟ้าและความร้อนดี ไม่เกิดปฏิกิริยาออกซิเดชันที่อุณหภูมิห้อง แต่ในขณะที่ โลหะเงินหลอมละลายในอากาศ ออกซิเจนจะแพร่เข้าไปได้มากกว่าปกติถึง 22 เท่า [9] จากนั้นความ วิจัยของสมนึก วัฒนศรีบุญ และคณะ [10] มีการอ้างอิงจากบทความอื่นถึงโลหะเงินบริสุทธิ์ว่ามีความ เชื่อมต่อ 26 วิกเกอร์ ทำให้เป็นรอยขีดข่วนง่าย เสียรูปทรงได้ง่าย ความสามารถในการยึด เกาะอั้นยึดไม่ดี ดังนั้นในการทำเครื่องประดับนิยมใช้โลหะเงินผสม สมบัติทางกายภาพและทางกลที่ สำคัญของโลหะเงินบริสุทธิ์สามารถสรุปได้ดังตารางที่ 2.1

ตารางที่ 2.1 สมบัติทางกายภาพและทางกลของโลหะเงินบริสุทธิ์ [8, 9]

สมบัติทางกายภาพและทางกล	ค่าที่วัดได้	หน่วย
ความหนาแน่น	10.5	กรัมต่อลูกบาศก์เซนติเมตร
จุดหลอมเหลว	962	องศาเซลเซียส
จุดเดือด	2,180	องศาเซลเซียส
ความแข็ง	26	วิกเกอร์
ความต้านทานแรงดึง	150	เมกะพาสคัล
ความเค้นคราก	28	เมกะพาสคัล
ค่าบั้งมอคูลัส	83	จิกะพาสคัล
การยึด	50	ร้อยละ

ในการศึกษาสมบัติทางกลของโลหะเงินนั้น จะต้องคำนึงถึงระดับความบริสุทธิ์ของโลหะเงิน โดยกำหนดให้โลหะเงินบริสุทธิ์จะต้องมีเนื้อเงินอย่างน้อยร้อยละ 99.95 โดยน้ำหนัก ปกติปริมาณของสารเจือปน (Impurities) แต่ละชนิดที่ผสมในเนื้อโลหะเงิน จะต้องมีปริมาณไม่เกินกำหนดมาตรฐาน ASTM B413-97a(2008) [11] ดังแสดงในตารางที่ 2.2

ตารางที่ 2.2 ปริมาณสารเจือปนในโลหะเงินบริสุทธิ์มาตรฐาน ASTM B413-97a(2008) [11]

สารเจือปน	ปริมาณสารเจือปนในโลหะเงินบริสุทธิ์ (ร้อยละ)	
	เงินร้อยละ 99.95	เงินร้อยละ 99.99
บิสเมลท (Bismuth)	< 0.001	< 0.0005
ทองแดง (Copper)	< 0.040	< 0.0100
เหล็ก (Iron)	< 0.002	< 0.0010
ตะกั่ว (Lead)	< 0.015	< 0.0010
แพลเดียม (Palladium)	-	< 0.0010
ซีเลเนียม (Selenium)	-	< 0.0005
เทลลูเรียม (Tellurium)	-	< 0.0005

จากการทดลอง โดยนำโลหะเงินบริสุทธิ์ร้อยละ 99.97 โดยน้ำหนัก ไปทำการขึ้นรูปเย็นที่ปริมาณการขึ้นรูปต่างกัน พ布ว่า ความต้านแรงดึง การยึดตัว และความแข็งมีการเปลี่ยนแปลงดังตารางที่ 2.3

ตารางที่ 2.3 สมบัติทางกลของโลหะเงินบริสุทธิ์ร้อยละ 99.97 ที่อัตราการขึ้นรูปต่างกัน [12]

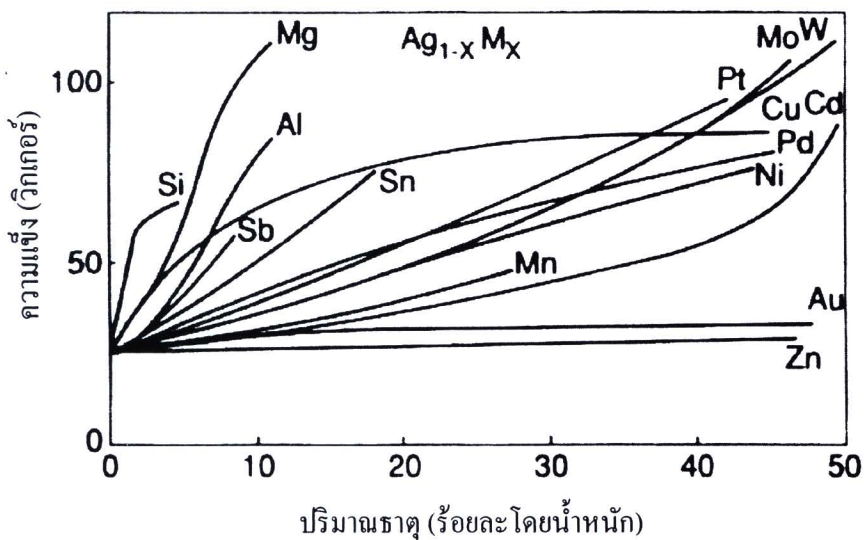
ปริมาณการขึ้นรูป (ร้อยละ)	ความต้านแรงดึง (แมกกะพาสคัล)	การยึดตัว (ร้อยละ)	ความแข็ง (วิกเกอร์)
งานหล่อ	150	50	26
12	180	30	54
20	230	10	65
30	260	5	70
50	290	3	80
80	360	2	90

2.2 โลหะเงินสเตอร์ลิง

การผลิตเครื่องประดับเงินนิยมใช้โลหะเงินสเตอร์ลิง จากมาตรฐานอุตสาหกรรมไทย มอก.21-2515 ให้ความหมายของโลหะเงินสเตอร์ลิง ว่าเป็นโลหะเงินที่มีธาตุอื่นผสมอยู่ไม่เกินร้อยละ 7.5 โดยน้ำหนัก [2] ซึ่งธาตุผสมที่เพิ่มเข้าไปในโลหะเงินทำให้สมบัติค้านต่างๆ ของโลหะเงินเปลี่ยนแปลงไป เช่น ค่าความแข็งของโลหะเงินสเตอร์ลิงจะมีค่า 70 วิกเกอร์ [13] จากรูปที่ 2.1 แสดงอิทธิพลของธาตุผสมที่มีผลต่อความแข็งของโลหะเงิน จะเห็นได้ว่าการเติมธาตุชิลิคอน แมgnีเซียม และอะลูминием ในปริมาณไม่เกินร้อยละ 5 สามารถทำให้ความแข็งของโลหะเงินสเตอร์ลิงเพิ่มมากขึ้น ในทางกลับกัน การเติมธาตุสังกะสี และทองในปริมาณไม่เกินร้อยละ 50 สามารถเพิ่มความแข็งได้ไม่มากนักหรือไม่เพิ่มขึ้นเลย [14]

ธาตุผสมที่เติมในโลหะเงินสเตอร์ลิง สามารถแบ่งได้เป็น 2 ชนิด คือ ธาตุผสมหลัก (Major Alloying Elements) และธาตุผสมรอง (Minor Alloying Elements) โดยมีรายละเอียดดังนี้

- **ธาตุผสมหลัก** หมายถึง ธาตุที่ผสมลงไปในปริมาณมาก เพื่อช่วยปรับปรุงสมบัติต่างๆ ตามสัดส่วนทางเคมี โดยทั่วไปนิยมเติมธาตุทองแดงลงไปในโลหะผสมเงินเพื่อเพิ่มความแข็งและความแข็งแรงด้วยกลไกการเกิดสารละลายของแข็ง (Solid Solution Strengthening - Mechanism)
- **ธาตุผสมรอง** หมายถึง ธาตุผสมที่เติมลงไปในปริมาณน้อยๆ ไม่เกินร้อยละ 1 เพื่อช่วยปรับปรุงสมบัติเฉพาะค้านต่างๆ เช่น การเติมดีบุกในโลหะเงินสเตอร์ลิงด้วยปริมาณที่พอเหมาะ จะเป็นตัวลดออกซิเจนและเพิ่มการต้านทานความหมอง ธาตุผสมรองที่ผสมเข้าไปในโลหะเงิน ทำให้สมบัติทางกลของโลหะเงินเปลี่ยนไป ทั้งในด้านความแข็งและความแข็งแรง เช่น สังกะสี อินเดียม ชิลิคอน ดีบุก เป็นต้น อิทธิพลของธาตุผสมที่มีผลต่อโลหะเงินสเตอร์ลิงแสดงในตารางที่ 2.4



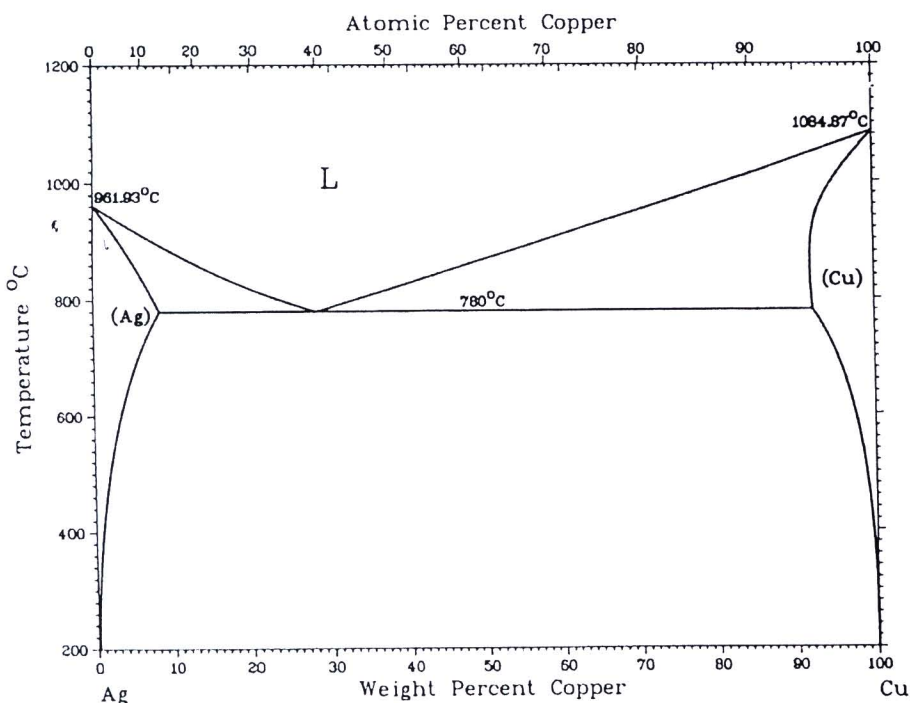
รูปที่ 2.1 อิทธิพลของธาตุพสมที่มีผลต่อความแข็งของโลหะเงินสเตอร์ลิง [14]

ตารางที่ 2.4 อิทธิพลของธาตุพสมที่มีผลต่อโลหะเงินสเตอร์ลิง [15]

ธาตุ	สัญลักษณ์	อิทธิพลต่อสีของโลหะ (เมื่อผสมปริมาณมาก)	อิทธิพลต่อสมบัติของโลหะ
ทองคำ	Au	สีเหลือง	เพิ่มความแข็งแรงและต้านทานการ蝕กรอง
แพลทินัม	Pt	สีขาว	เพิ่มความแข็งแรงและต้านทานการ蝕กรอง
ทองแดง	Cu	สีแดงหรือชมพู	เพิ่มความแข็ง
สังกะสี	Zn	สีขาว	ลดการเกิดออกซิเดชัน (ขยายขนาดเกรน)
แพลเลเดียม	Pd	สีขาว	เพิ่มความแข็งแรงและต้านทานการ蝕กรอง
nickel	Ni	สีขาว	เพิ่มความแข็ง
ดีบุก	Sn	สีขาว	ลดจุดหลอมเหลวและต้านทานการ蝕กรอง
ซิลิโคน	Si	-	ลดการเกิดออกซิเดชัน (ขยายขนาดเกรน)

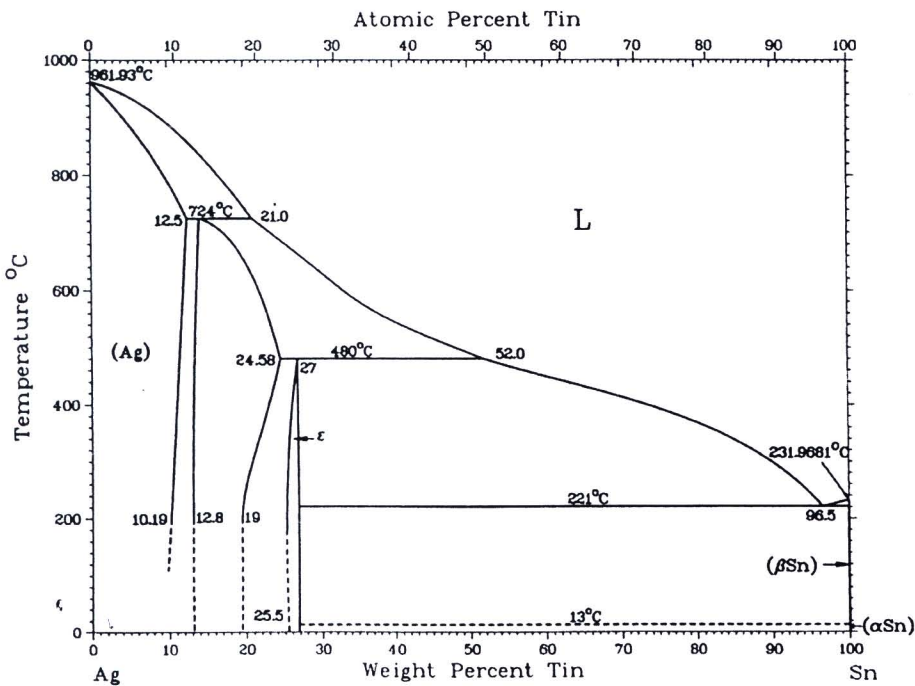
สำหรับการเติมธาตุพสมในโลหะเงินสเตอร์ลิงจะต้องพิจารณาความสามารถในการละลาย (Solvability) ของธาตุพสมจากแผนภาพสมดุลของธาตุพสมนั้นๆ ดังรูปที่ 2.2 แสดงแผนภาพสมดุลของโลหะเงิน - ทองแดง จะเห็นว่าเงินมีจุดหลอมเหลว 962 องศาเซลเซียส ส่วนทองแดงมีจุดหลอมเหลว 1,084 องศาเซลเซียส ทองแดงสามารถละลายในเงินได้สูงสุดร้อยละ 8.8 โดยน้ำหนัก ที่อุณหภูมิ 779 องศาเซลเซียส เกิดเป็นสารละลายของแข็ง เรียกว่า เฟสแอลฟ้า (α - Phase) ซึ่งเป็นสารละลายของแข็ง

ที่มีเงินเป็นส่วนผสมหลัก (Ag-rich Solid Solution) ความสามารถในการละลายได้ของทองแดงจะลดลง เมื่ออุณหภูมิลดลงตามเด่นแสดงความสามารถในการละลาย (Solvus) ส่วนเงินสามารถละลายในทองแดงได้สูงสุดร้อยละ 8 โดยน้ำหนัก เกิดเป็นสารละลายของแข็ง เรียกว่า เฟสบีตา (β - Phase) ซึ่งเป็นสารละลายของแข็งที่มีทองแดงเป็นส่วนผสมหลัก (Cu-rich Solid Solution) การแข็งตัวอย่างช้าๆ ตามแผนภาพสมดุลจะเกิดเฟสที่มีสภาวะสมดุลเป็นเนื้อเดียวกัน แต่ในการแข็งตัวในงานจริงจะเป็นการแข็งตัวที่เร็วกว่าการเกิดสภาวะสมดุล จึงทำให้เกิดโครงสร้างที่ไม่ได้ออยู่ในสภาวะสมดุล



รูปที่ 2.2 แผนภาพเฟสสมดุลของโลหะเงิน - ทองแดง [16]

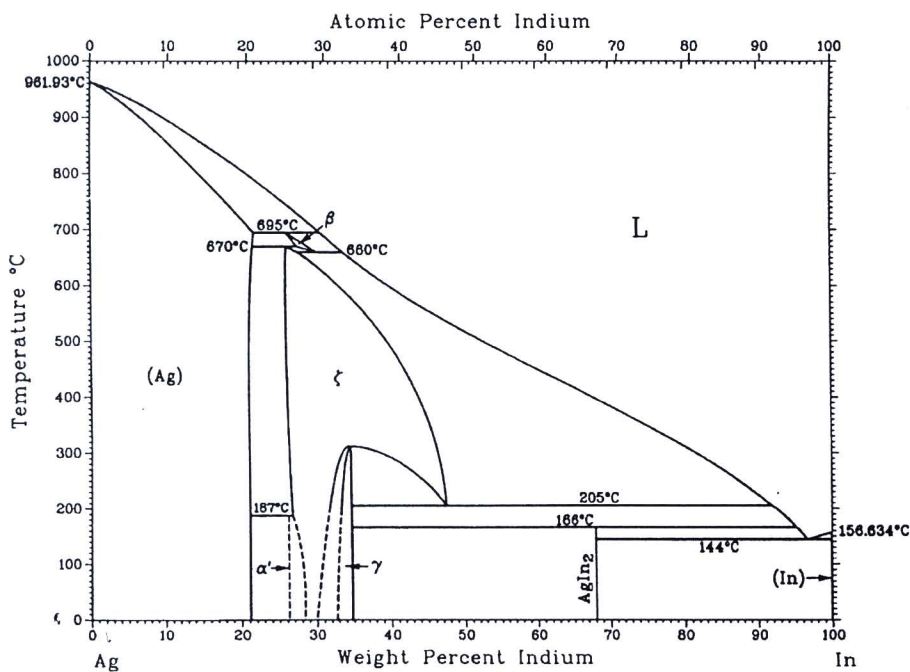
รูปที่ 2.3 แสดงแผนภาพเฟสสมดุลของโลหะเงิน-ดีบุก ธาตุดีบุกมีจุดหลอมเหลวประมาณ 232 องศาเซลเซียส สามารถละลายในเงินได้สูงสุดร้อยละ 12.5 โดยน้ำหนัก ที่อุณหภูมิ 724 องศาเซลเซียส ความสามารถในการละลายจะลดลงเมื่ออุณหภูมิลดลงตามเด่นแสดงความสามารถในการละลายในทางกลับกันเงินไม่สามารถละลายได้ในดีบุก จากการสำรวจวิจัยพบว่า มีการนำดีบุกไปเติมในส่วนผสมของเงินสเตอร์ลิงแล้วช่วยเพิ่มความแข็งได้ [17]



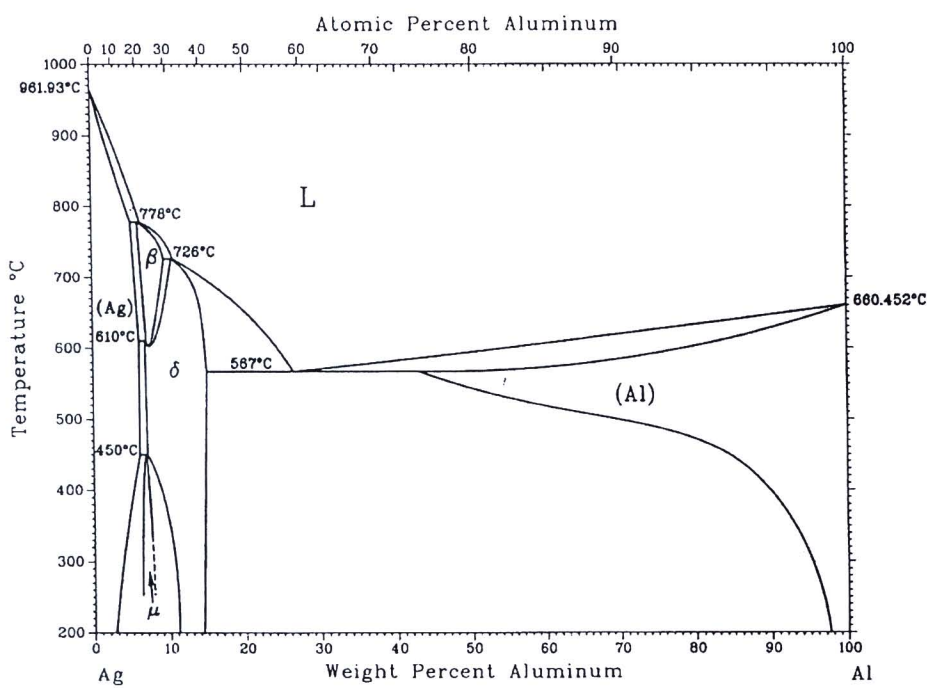
รูปที่ 2.3 แผนภาพเฟสสมดุลของโลหะเงิน-ดีบุก [16]

รูปที่ 2.4 แสดงแผนภาพเฟสสมดุลของโลหะเงิน-อินเดียม ธาตุอินเดียมมีจุดหลอมเหลวประมาณ 156 องศาเซลเซียส สามารถละลายในเงินได้สูงสุดร้อยละ 21 โดยน้ำหนัก ที่อุณหภูมิ 595 องศาเซลเซียส ความสามารถในการละลายจะลดลงเมื่ออุณหภูมิลดลงตามเส้นแสดงความสามารถในการละลาย ในทางกลับกันเงินไม่สามารถละลายได้ในอินเดียม เมื่อเติมอินเดียมในโลหะเงิน สามารถช่วยเพิ่มความสามารถในการเข้ามาระยะห่างได้ และยังส่งผลให้โลหะผสมคงความมั่นคง เพิ่มความต้านทาน การ腐蝕ได้

รูปที่ 2.5 แสดงแผนภาพเฟสสมดุลของโลหะเงิน-อะลูминเนียม อะลูминเนียมมีจุดหลอมเหลวประมาณ 660 องศาเซลเซียส สามารถละลายในเงินได้สูงสุดร้อยละ 5 โดยน้ำหนัก ที่อุณหภูมิ 778 องศาเซลเซียส และไม่เกินร้อยละ 6 โดยน้ำหนัก ที่อุณหภูมิ 450 องศาเซลเซียส และเมื่ออุณหภูมิลดลง ความสามารถในการละลายของอะลูминเนียมลดลง ในขณะที่เงินสามารถละลายในอะลูминเนียมได้สูงสุด ร้อยละ 58 โดยน้ำหนัก ที่อุณหภูมิ 567 องศาเซลเซียส จากงานวิจัยที่ผ่านมาพบว่า การเติมอะลูминเนียม ในเงินสเตอร์ลิงทำให้ความแข็งเพิ่มขึ้น [6]



รูปที่ 2.4 แผนภาพเฟสสมดุลของโลหะเงิน-อินเดียม [16]

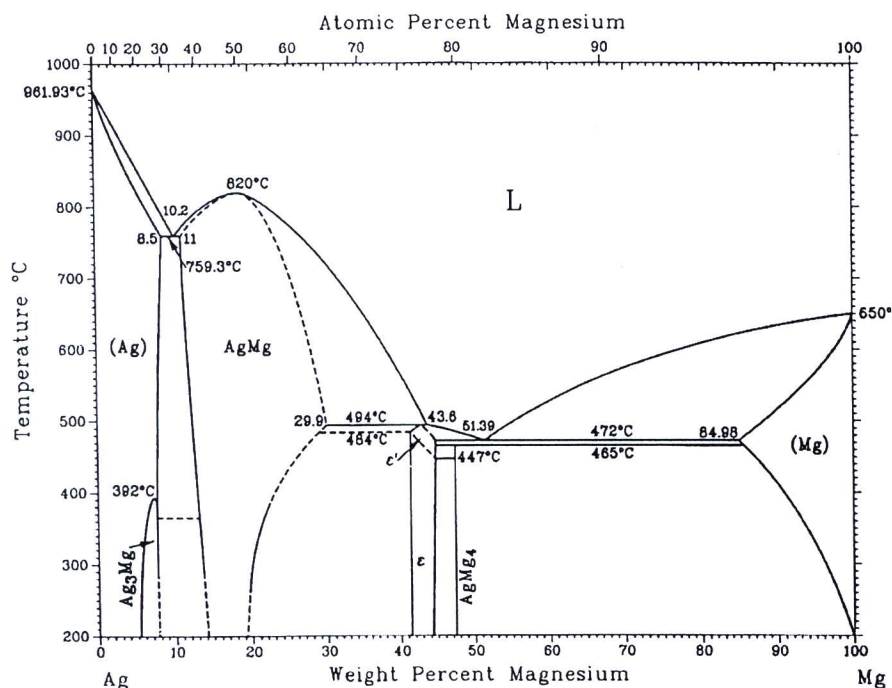


รูปที่ 2.5 แผนภาพเฟสสมดุลของโลหะเงิน-อะลูมิเนียม [16]

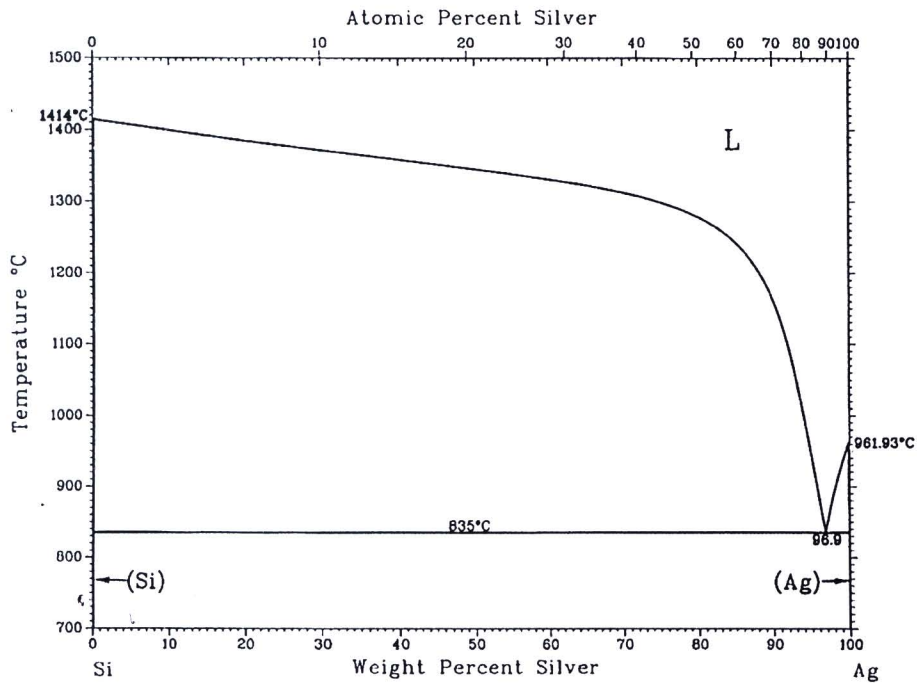
รูปที่ 2.6 แสดงแผนภาพเฟสสมดุลของโลหะเงิน-แมกนีเซียม ธาตุแมกนีเซียมสามารถละลายในเงินได้สูงสุดร้อยละ 8.5 โดยน้ำหนักที่อุณหภูมิ 759.3 องศาเซลเซียส ในทางกลับกันเงินสามารถละลายได้ในแมกนีเซียมได้สูงสุดร้อยละ 15.04 โดยน้ำหนักที่อุณหภูมิ 472 องศาเซลเซียส จากการศึกษางานวิจัยพบว่า มีการเติมแมกนีเซียมเพื่อเพิ่มความแข็งของโลหะเงินสเตอร์ลิง [6]

รูปที่ 2.7 แสดงแผนภาพเฟสสมดุลของโลหะเงิน-ซิลิคอน ธาตุซิลิคอนแทนจะไม่สามารถละลายในโลหะเงินได้เลย และพบจุดยูเทคติกที่อุณหภูมิ 835 องศาเซลเซียส โดยมีส่วนผสมทางเคมีของเงินอยู่ร้อยละ 96.9 โดยน้ำหนัก นอกจากนี้ยังพบว่า โครงสร้างยูเทคติกประกอบด้วยเฟสเงินและเฟสซิลิคอน ซึ่งความสามารถในการละลายระหว่างกันของธาตุทั้งสองต่ำมาก ทำให้มีเกิดสารละลายของแข็งขึ้น

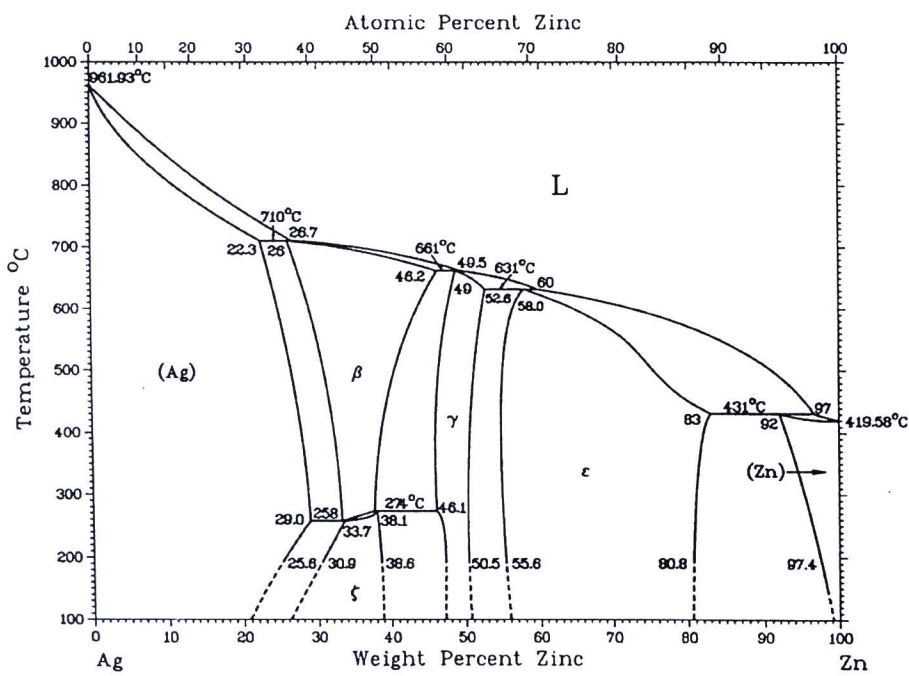
รูปที่ 2.8 แสดงแผนภาพเฟสสมดุลของโลหะเงิน-สังกะสี ธาตุสังกะสีมีจุดหลอมเหลวประมาณ 420 องศาเซลเซียส และสามารถละลายได้ในเงินประมาณร้อยละ 22.3 โดยน้ำหนักที่อุณหภูมิ 710 องศาเซลเซียส สังกะสีสามารถต้านทานการเกิดออกซิเดชันได้ ช่วยลดการรวมตัวของโลหะเงินกับออกซิเจน ทำให้น้ำโลหะไหลตัวได้ดี มีสมบัติเป็นมันเงา จึงทำให้สามารถขัดเงาได้



รูปที่ 2.6 แผนภาพเฟสสมดุลของโลหะเงิน-แมกนีเซียม [16]



รูปที่ 2.7 แผนภาพเฟสสมดุลของโลหะเงิน-ซิลิคอน [16]



รูปที่ 2.8 แผนภาพเฟสสมดุลของโลหะเงิน-สังกะสี [16]



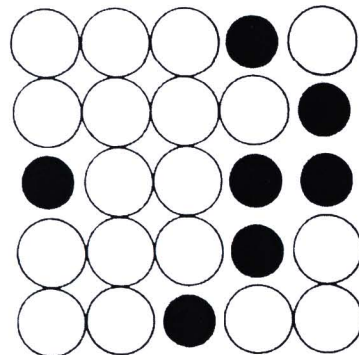
2.3 กลไกการเพิ่มความแข็งและความแข็งแรงของวัสดุ

ความแข็งและความแข็งแรงของโลหะถูกความคุณโดยจำนวนของดิสโลเคชัน (Dislocation) และความสามารถในการเคลื่อนที่ของดิสโลเคชัน โลหะจะมีความแข็งและความแข็งแรงเพิ่มขึ้นเมื่อการเคลื่อนที่ของดิสโลเคชันถูกขัดขวาง การใช้กลไกการเพิ่มความแข็งและความแข็งแรงของวัสดุนี้ หลักการโดยทั่วไป [18] ดังต่อไปนี้

2.3.1 การเพิ่มความแข็งด้วยการเกิดสารละลายของแข็ง

เป็นกลไกการทำให้โลหะมีความแข็งเพิ่มมากขึ้น โดยการเติมธาตุชนิดอื่นลงไปเป็นตัวถูกละลายในธาตุหลักที่เป็นตัวทำละลาย ธาตุที่เติมลงไปจะเกิดกลไกที่ทำให้เพิ่มความแข็งได้ 2 แบบ คือ

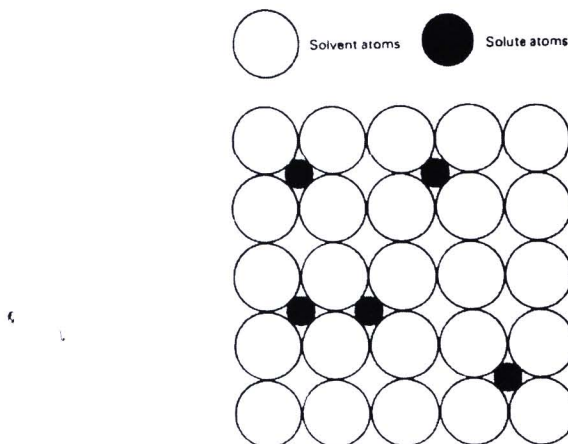
- สารละลายของแข็งแบบแทนที่ (Substitution Solid Solution) มีกลไกการเกิดที่สำคัญคือ ซ่องว่างระหว่างอะตอม (Vacancy) ในตัวทำละลาย เมื่ออัตโนมัติอยู่รอบซ่องว่างของอะตอมของตัวมันเอง หรืออะตอมของธาตุอื่น เมื่อได้รับพลังงานที่มากพอจนทำให้เกิดการสั่นสะเทือน อัตโนมัติจะเกิดการเคลื่อนที่เข้าไปแทนที่ซ่องว่างได้พอดี ดังรูปที่ 2.9 ในการเกิดสารละลายของแข็งทั้ง 2 แบบที่กล่าวมาแล้วนั้น อัตโนมัติของธาตุที่มีขนาดต่างกันทำให้เกิดสนามความเครียด (Strain Field) ทำหน้าที่ในการช่วยขัดขวางการเคลื่อนที่ของดิสโลเคชัน ทำให้โลหะผสมมีความแข็ง และความแข็งแรงเพิ่มขึ้น [18]



รูปที่ 2.9 กลไกการเกิดสารละลายแบบแทนที่ [18]

สำนักงานคณะกรรมการวิจัยแห่งชาติ
ห้องสมุดงานวิจัย
วันที่ 13 มี.ย. 2555
เลขทะเบียน.....
246674
เลขเรียกหนังสือ.....

- สารละลายนองของแข็งแบบแทรก (Interstitial Solid Solution) เกิดจากอะตอมของธาตุที่เติมลงไประสามารถเข้าไปแทรกอยู่ภายในโครงสร้างผลึกของตัวทำละลาย ซึ่งขนาดของอะตอมของตัวถูกทำละลายจะเล็กกว่าอะตอมของตัวทำละลาย จึงสามารถแทรกตัวอยู่ระหว่างช่องว่างของอะตอมของตัวทำละลายได้ แสดงดังรูปที่ 2.10



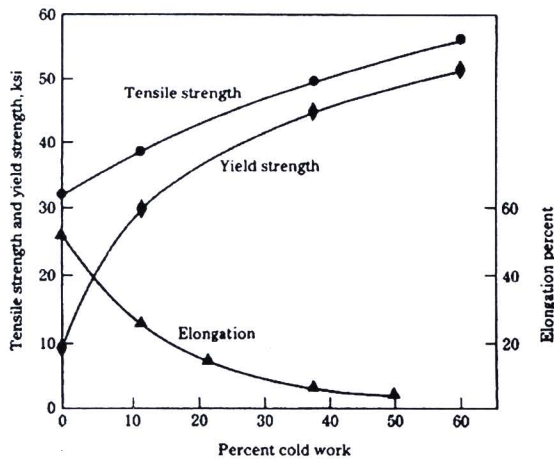
รูปที่ 2.10 กลไกการเกิดสารละลายนองของแข็งแบบแทรกที่ [18]

2.3.2 การเพิ่มความแข็งจากการเครียด (Strain Hardening)

การเพิ่มความแข็งจากการเครียดเป็นการทำให้โลหะบริสุทธิ์หรือโลหะผสม มีความแข็งเพิ่มขึ้น โดยการขึ้นรูปเย็น (Cold Working) หมายถึง การแปรรูปวัสดุที่อุณหภูมิต่ำกว่าอุณหภูมิการเกิดผลึกใหม่ โดยในระหว่างกระบวนการขึ้นรูปนั้น วัสดุจะมีการเปลี่ยนแปลงโครงสร้างและเกิดคิสโลเคชัน เพิ่มขึ้นเป็นจำนวนมาก จนทำให้เกิดการขัดขวางการเคลื่อนที่ของคิสโลเคชันด้วยกันเอง ส่งผลให้วัสดุ มีความแข็งและความแข็งแรงเพิ่มขึ้น แต่ความเหนียวจะลดลง [19] ดังแสดงในรูปที่ 2.11 ร้อยละของการแปรรูปเย็น (Percent of Cold Work, %CW) สามารถคำนวณได้จากความหนาหรือพื้นที่ซึ่งเปลี่ยนแปลงไป [18] ซึ่งสามารถคำนวณได้จากสมการ ดังนี้

$$\%CW = \frac{100(A_0 - A_d)}{A_0}$$

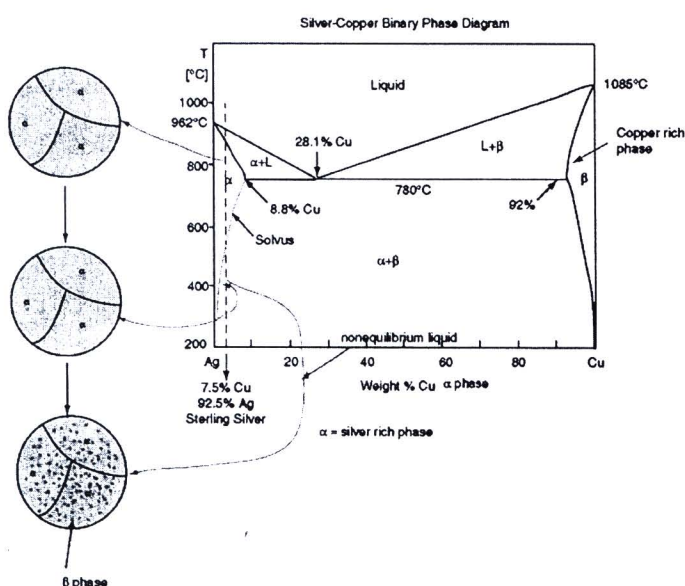
โดย A_0	คือ พื้นที่หน้าตัดเริ่มต้นที่เกิดการแปรรูปขึ้น
A_d	คือ พื้นที่หน้าตัดหลังการขึ้นรูป



รูปที่ 2.11 ผลของปริมาณการแปรรูปเย็นต่อสมบัติทางกล [19]

2.3.3 การเพิ่มความแข็งด้วยการทำให้เกิดอนุภาคขนาดเล็ก

การเพิ่มความแข็งโดยการทำให้เกิดอนุภาคขนาดเล็ก คือ กลไกการเพิ่มความแข็งโดยทำให้ออนุภาคขนาดเล็ก (Precipitated Phase) เกิดการตกตะกอนออกมาและเกิดการกระจายตัวในเนื้อพื้นอย่างสนับสนุน โดยอนุภาคขนาดเล็กนี้จะทำหน้าที่เป็นตัวขัดขวางการเคลื่อนที่ของดิสโลเคชัน [17] กระบวนการทำให้เกิดอนุภาคขนาดเล็กของโลหะผสมเงิน-ทองแดง แสดงดังรูปที่ 2.12 โดยกระบวนการนี้ประกอบด้วย 3 ขั้นตอน คือ



รูปที่ 2.12 การเปลี่ยนแปลงโครงสร้างจุลภาคของโลหะผสมเงิน – ทองแดง [20]

- **การอบละลายเฟส (Solution Treatment)** เป็นการให้ความร้อนกับชิ้นงาน ซึ่งค่าอุณหภูมิอยู่ในช่วงระหว่างเส้น Solvus และเส้น Solidus หลังจากนั้นจะไว้ที่อุณหภูมนั้น เพื่อให้ได้โครงสร้างที่มีความสม่ำเสมอ วัตถุประสงค์ของขั้นตอนนี้ คือ การทำให้เฟสที่สองที่อยู่ตามขอบเกรนของเฟสแรก ละลายกลับเข้าไปในเฟสแรกทั้งหมด ดังนั้นเนื้อโลหะที่ได้จากการอบละลายเฟสจะเป็นเฟสสารละลายของของแข็งอิ่มตัว (Saturated Solid Solution)
- **การทำให้เย็นตัวอย่างรวดเร็ว (Quenching)** เป็นการทำให้ชิ้นงานลดอุณหภูมิลงอย่างรวดเร็ว จากอุณหภูมิที่อบละลายเฟสสิ่งอุณหภูมิห้อง เพื่อเป็นการขับยึดการแพร่ของอะตอมชาตุพสม ไม่ให้กลับมาที่ขอบเกรน หรือเป็นการขัดขวางไม่ให้โลหะพสมเปลี่ยนแปลงตามแผนภูมิ สมดุล ทำให้ชิ้นงานเป็นสารละลายของของแข็งอิ่มตัวยิ่งขวด (Super Saturated Solid Solution)
- **การบ่มแข็ง (Aging)** เป็นการสร้างอนุภาคขนาดเล็ก และมีการกระจายตัวอย่างสม่ำเสมอ เนื่องจากในการทำให้เย็นตัวอย่างรวดเร็ว โลหะพสมกล้ายเป็นสารละลายของของแข็งอิ่มตัว ยิ่งขวดซึ่งไม่เสถียร เมื่ออบที่อุณหภูมิเหมาะสมจะทำให้เฟส θ' ตกตะกอนในเฟสแอลฟ่า (α) โดยจะเป็นตัวขัดขวางการเคลื่อนที่ของดิสโลเคชัน ทำให้วัสดุมีความแข็งแรงเพิ่มขึ้น แต่ถ้าบ่มนานเกินไป (Over Ageing) จะทำให้ขนาดของเฟส θ' ใหญ่ขึ้นจนค่อยๆ เปลี่ยนเป็นเฟส θ ทำให้ความแข็งและความแข็งแรงลดลง

2.4 การหล่อโลหะ

การหล่อโลหะ (Casting) เป็นกระบวนการสร้างรูปโดยการเทโลหะที่หลอมเหลวลงในโครงแบบแม่พิมพ์ และเมื่อโลหะเกิดการแข็งตัวแล้วจึงถอดแม่พิมพ์ออกแล้วตกแต่ง การหล่อเครื่องประดับในปัจจุบันใช้วิธีการหล่อแบบแทนที่ขึ้นรูป (Investment Casting) และใช้วิธีเทน้ำโลหะเข้าสู่โครงแบบแม่พิมพ์ซึ่งมีอยู่ 2 วิธี ได้แก่ การใช้แรงเหวี่ยงจากการหมุนของแม่พิมพ์ดันน้ำโลหะเข้าไปในโครงแบบแม่พิมพ์ปูน (Centrifugal Casting) กับใช้ระบบสูญญากาศ (Vacuum Casting) ดูดน้ำโลหะเหลวเข้าสู่โครงแบบแม่พิมพ์ปูนทำให้เนื้อชิ้นงานแน่นและมีความละเอียดของงานมาก [21]

หลักการหล่อเหวี่ยงโดยใช้แรงเหวี่ยงหนีศูนย์กลาง อาศัยหลักการของการมัดก้อนหินไว้ที่ปลายเชือกแล้วจับปลายเชือกอีกด้านหนึ่งและอุกแรงเหวี่ยงให้ก้อนหินหมุนไปรอบๆ เชือกจะตึงจนเป็นเส้นตรง ขณะเดียวกันก้อนหินก็จะพยายามพุ่งออกไปในทิศทางตรงข้ามกับจุดหมุนซึ่งเรียกว่า “แรงเหวี่ยงหนีศูนย์กลาง” [22] การประยุกต์ใช้แรงเหวี่ยงหนีศูนย์กลางมาใช้ในการหล่อโลหะจะทำเป็นคานตรงจุดหมุนที่กึ่งกลางคาน ปลายคานด้านหนึ่งวางแบบปูนหล่อที่มีโครงแบบภายใน ถัดมาเป็น

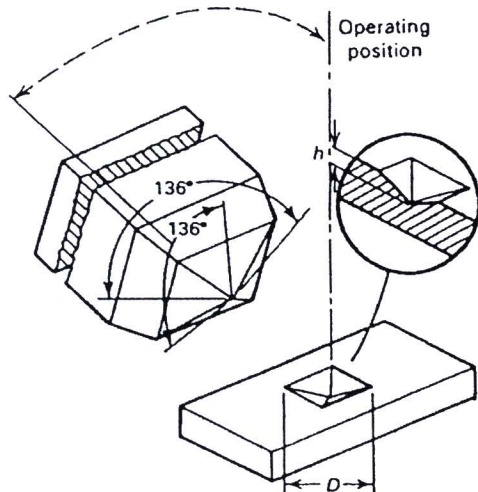
เบ้าหลอมสำหรับใส่น้ำโลหะ ส่วนปลายอีกด้านหนึ่งมีน้ำหนักสำหรับถ่วงให้คานนี้สมดุล จากนั้นจึงออกแบบหมุนคานนี้ แรงเหวี่ยงหนีศูนย์กลางที่เกิดขึ้นจะทำให้น้ำโลหะที่เป็นของเหลวพุ่งเข้าไปในโครงแบบ

หลักการหล่อโดยใช้ระบบสูญญากาศ เป็นวิธีการที่พัฒนามาจากการใช้แรงโน้มถ่วงของโลกมาช่วยในการหล่อโลหะ เริ่มจากการเทน้ำโลหะลงในโครงแบบปูนหล่อโดยตรง แรงดึงดูดของโลกจะดึงให้น้ำโลหะไหลลงไปในโครงแบบ ซึ่งหมายความว่าชิ้นงานขนาดใหญ่ ไม่มีผลด้วยชับช้อนมากนัก แต่จะไม่หมายความว่าชิ้นงานเครื่องประดับที่มีขนาดเล็ก และมีผลด้วยชับช้อน เพราะน้ำโลหะที่ไหลลงสู่โครงแบบด้วยแรงดึงดูดของโลก จะไม่สามารถไหลแทรกไปตามผลด้วยที่จะอีกด้วยได้เท่าที่ควร จึงมีการประยุกต์นำระบบสูญญากาศเข้ามาช่วยในการหล่อลักษณะนี้ให้มีประสิทธิภาพเพิ่มขึ้น โดยการดูดอากาศที่อยู่ในโครงแบบออกจนหมด ทำให้น้ำในโครงแบบมีสภาพเกือบเป็นสูญญากาศ ในขณะที่บรรยายอากาศออกโครงแบบยังมีแรงดันเป็นปกติ คือ 14.7 ปอนด์ต่อตารางนิว (1 บาร์) [23] ดังนั้น เมื่อเท่าน้ำโลหะเข้าไปในโครงแบบ น้ำโลหะจะไหลไปตามรายละเอียดเล็กๆ ได้ เนื่องจากภายในโครงแบบไม่มีแรงดันอากาศต้านการไหลของน้ำโลหะ ทำให้น้ำโลหะไหลลงไปในโครงแบบด้วยแรงดึงดูดของระบบสูญญากาศ เครื่องหล่อขึ้นรูประบบสูญญากาศที่ใช้กันโดยทั่วไปในการผลิต เครื่องประดับมี 2 ลักษณะ คือ เครื่องหล่อโลหะระบบสูญญากาศแบบธรรมชาติ และเครื่องหล่อโลหะระบบสูญญากาศแบบควบคุมบรรยายอากาศ

2.5 การทดสอบความแข็ง

การทดสอบความแข็ง เป็นการวัดความสามารถในการต้านทานการเปลี่ยนรูปอย่างถาวร ซึ่งอธิบายถึงสภาพหรือสมบัติของวัสดุ ในเรื่องความต้านทานต่อแรงทางกลที่จะทำให้เกิดการเปลี่ยนแปลงรูปทรงหรือขนาดอย่างถาวร การวัดความแข็งมีหลายสเกล เช่น การวัดความแข็งสเกลร์อคเวล (Rockwell Test) บรินเนลล์ (Brinell Test) และวิกเกอร์ (Vicker Test) เป็นต้น ในงานวิจัยนี้เลือกใช้การวัดความแข็งสเกลวิกเกอร์ เนื่องจากชิ้นงานที่ทดสอบมีขนาดเล็ก มีความหนาไม่เกิน 5 มิลลิเมตร

การทดสอบความแข็งแบบวิกเกอร์ ลักษณะหัวกดเป็นเพชรรูปปีรามิดฐานสี่เหลี่ยมจัตุรัส มีมุมยอด 136 องศา การทดสอบชนิดนี้มีช่วงของค่าความแข็งที่กว้าง ทำให้สามารถเลือกใช้ได้หลายวัสดุ ค่าความแข็งที่ได้สามารถหาได้จากหลักการของแรงที่กระทำต่อพื้นที่รือยกด ดังรูปที่ 2.13



รูปที่ 2.13 ลักษณะหัวกด รอบกดและการวัดขนาดของเส้นทแยง [24]

ค่าความแข็งสามารถคำนวณได้จากสูตร [24]

$$HV = \frac{2P \sin(136^\circ / 2)}{d^2} = 1.8544 \frac{P}{d^2}$$

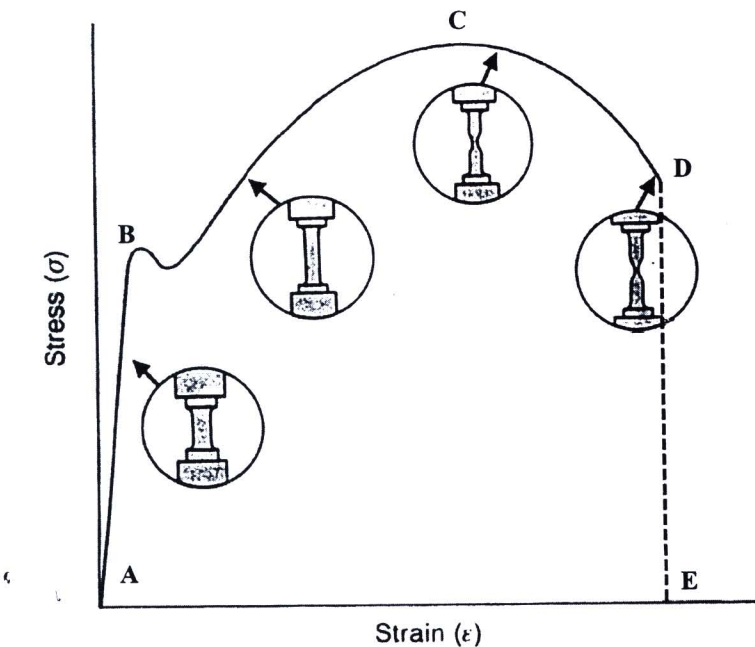
โดยที่

P คือ น้ำหนักที่ใช้กดในหน่วยกิโลกรัม

d คือ ขนาดเส้นทแยงมุมของรอบกดในหน่วยมิลลิเมตร

2.6 การทดสอบแรงดึง

การทดสอบวัสดุเพื่อหาค่าความต้านแรงดึงของวัสดุ ทำได้โดยนำชิ้นงานที่มีขนาดมาตรฐานมาดึงจนขาดในระยะเวลาสั้นๆ แล้วบันทึกค่าของความเคี้ยว (Stress) และความเครียด (Strain) ที่เกิดขึ้นไว้ จะได้ความสัมพันธ์ระหว่างความเคี้ยว-ความเครียด แสดงในรูปที่ 2.14 ค่าที่ได้จากการทดสอบนี้บ่งบอกถึงความสามารถในการต้านแรงที่มากกระทำชิ้นงานจนเกิดความเสียหายและเสียรูป ขนาดและรูปร่างของชิ้นงานที่ทดสอบจะขึ้นอยู่กับชนิดของวัสดุ มาตรฐานของการทดสอบมีหลายแบบ เช่น มาตรฐานของ ASTM (American Society of Testing and Materials), BS (British Standards), JIS (Japanese Industrial Standards) และ มอก. (มาตรฐานผลิตภัณฑ์อุตสาหกรรมไทย) เป็นต้น ได้กำหนดขนาดและรูปร่างของชิ้นทดสอบไว้ ทั้งนี้เพื่อให้ผลของการทดสอบเชื่อถือได้ พร้อมกับกำหนดความเร็วในการเพิ่มแรงกระทำเอาไว้ด้วย



รูปที่ 2.14 เส้นโค้งความกีน-ความเครียด [25]

ในการดึงขึ้นงานโลหะ ช่วงแรกจากจุด A ถึงจุด B โลหะจะเปลี่ยนรูปแบบอิเลสติก (Elastic - Deformation) แต่หากปลดแรงที่กระทำออกไป ชิ้นงานจะกลับสู่ความยาวเริ่มต้น ความสัมพันธ์ระหว่างความกีนและความเครียดเป็นแบบเส้นตรงในช่วงของอิเลสติก ค่าความชันของกราฟในช่วงนี้จะเรียกว่าค่า Modulus of Elasticity หรือค่า Young's Modulus ซึ่งเป็นค่าที่บ่งบอกถึงความแข็งแรงของพื้นฐานระหว่างอะตอมของโลหะหรือโลหะผสม จุด B เป็นบริเวณที่กราฟเกิดการเปลี่ยนแปลงจากช่วงอิเลสติกเป็นช่วงเสียรูปแบบถาวร เรียกบริเวณนี้ว่าจุดคราก (Yield Point) ค่าความกีนที่จุดนี้มีความสำคัญในการออกแบบทางวิศวกรรม

สำหรับวัสดุบางชนิดที่ไม่มีจุดคราก ไม่มีการกำหนดค่าความกีนที่ค่า Offset Yield Point ของค่าความเครียดร้อยละ 0.2 ในบริเวณสูงสุดของกราฟที่จุด C เรียกว่า ค่าความต้านแรงดึงสูงสุด (Ultimate Tensile Strength) เป็นจุดที่วัสดุเกิดการคอด (Necking) ของพื้นที่หน้าตัด (ในกรณีที่วัสดุเหนียว) ก่อนที่วัสดุจะเกิดความเสียหาย ส่วนค่าที่บ่งบอกถึงความอ่อนตัวของโลหะนั้นสามารถพิจารณาได้จากค่าร้อยละการยืดตัวซึ่งเป็นค่าระหว่างจุด A ถึงจุด E โดยโลหะยิ่งอ่อนแสດงว่ามีร้อยละการยืดตัวมาก [26]

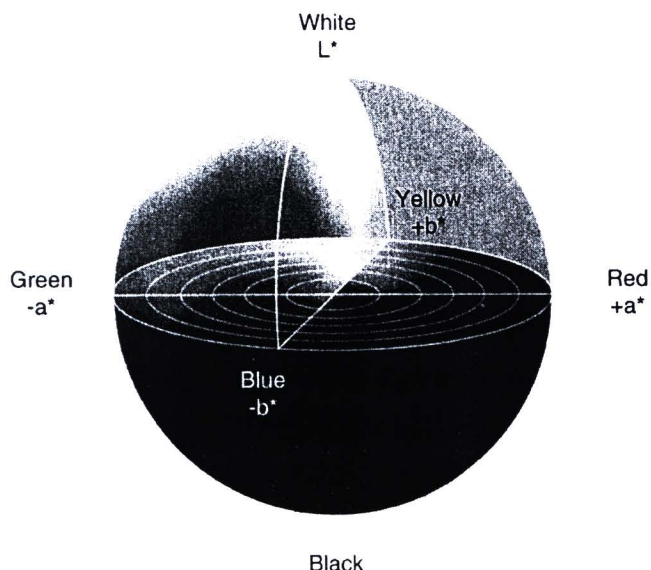
2.7 ความต้านทานการหดของโลหะเงินสเตอโรลิง

การหดของ (Tarnish) ที่ผิวของเงินสเตอโรลิง เกิดขึ้นเนื่องจากการทำปฏิกิริยาระหว่างเงินกับสารประกอบของชัลเฟอร์ เช่น ไฮโคลเจนชัลไฟฟ์ (H_2S) หรือชัลเฟอร์ไคออกไซด์ (SO_2) เป็นต้น ทำให้เกิดสารประกอบชัลไฟฟ์ของเงินขึ้น ในเงินสเตอโรลิงที่มีส่วนผสมของโลหะเงินมากกว่าร้อยละ 83 จะเกิดขึ้นฟิล์มของซิลเวอร์ชัลไฟฟ์ได้ [27] ซึ่งสารประกอบของชัลฟิล์มที่มีซิลเวอร์ชัลไฟฟ์เป็นองค์ประกอบหลักนั้น จะทำให้ผิวชั้นงานเป็นสีน้ำตาล สีน้ำตาลอ่อนเขียว (Greenish-brown) จนถึงสีดำ โดยขึ้นกับชั้นความหนาของฟิล์มที่เกิดขึ้น นอกจากนี้เมื่อมีความชื้นปนอยู่กับชัลเฟอร์ไคออกไซด์ในปริมาณที่เข้มข้นสูง ฟิล์มของสารประกอบชัลไฟฟ์จะมีชัลเฟต (Ag_2SO_4) ปนอยู่ด้วย [28]

จากการศึกษางานวิจัยที่ผ่านมาพบว่า มีการเติมธาตุบางชนิดเพื่อไปปรับปรุงสมบัติด้านความต้านทานการหดของหรือการเกิดออกไซด์ของทองแดง ธาตุที่เติมลงไปจะเกิดเป็นชั้นฟิล์มบางที่ผิว ทำหน้าที่ป้องกันการทำปฏิกิริยา กับบรรยายกาศที่มีชัลเฟอร์ปะปนอยู่ อาทิเช่น การเติมโคโรเมียม แทนทาลัม ไทเทเนียม และทอเรียม เป็นต้น โดยเติมไม่เกินร้อยละ 1.5 โดยน้ำหนัก ลงในเงินสเตอโรลิงที่มีส่วนผสม $Ag-Cu$, $Ag-Au$ และ $Ag-Cu-Au$ ทำให้เกิดเป็นชั้นฟิล์มบางๆ ที่ผิวของเงินสเตอโรลิง และไม่ทำให้สมบัติด้านอื่นๆ แย่ลง [29] การเติมปริมาณแมงกานีสร้อยละ 1.3-3.0 โดยน้ำหนัก สามารถเพิ่มความต้านทานการหดของ แต่ในทางกลับกันปริมาณแมงกานีสที่สูงกว่าร้อยละ 1.7 โดยน้ำหนัก มีผลทำให้สมบัติทางกลต่ำลง [30] การเติมดีบุกร้อยละ 0.01-0.03 โดยน้ำหนัก ช่วยเพิ่มความต้านทานการหดของและเพิ่มความแข็ง สร้างการเติมอินเดียมร้อยละ 0.03-0.05 โดยน้ำหนัก ทำให้ขนาดเกรนลดลง และช่วยลดแรงตึงผิว (Wetability) ของน้ำโลหะ และการเติมซิลิคอนสามารถลดการทำปฏิกิริยา กับออกซิเจน ลดรูพรุนในงานหล่อ และช่วยเพิ่มความแข็ง ปริมาณที่เติมอยู่ระหว่างร้อยละ 0.5-0.9 โดยน้ำหนัก [31] แต่การเติมซิลิคอนที่เหมาะสมเพื่อเพิ่มสมบัติทางกลควรเติมปริมาณร้อยละ 0.02-0.20 โดยน้ำหนัก ถ้าเติมมากกว่าร้อยละ 0.20 โดยน้ำหนัก จะทำให้เกิดโครงสร้างตามข้อบกพร่อง ทำให้มีความประ�ามาก [12]

โดยสรุป การป้องกันไม่ให้เงินสเตอโรลิงสัมผัสกับอากาศจะเกิดการหดของทำได้โดย (1) เคลือบผิวเงินสเตอโรลิงด้วยโลหะที่ทนการหดของได้ (2) ห่อหุ้มผิวหรือควบคุมบรรยายกาศไม่ให้มีชัลเฟอร์ และ(3) ผสมด้วยธาตุผสมที่ช่วยให้ทนการหดของได้ สำหรับวิธีการกำจัดฟิล์มของการหดสามารถทำได้โดย การเผาที่อุณหภูมิ 350 - 600 องศาเซลเซียส หรือ การทำ Electrolysis ในกรณีที่เป็นฟิล์มบางๆ แต่ถ้าความหนาของฟิล์มมากจะต้องใช้วิธีขัดละเอียดจึงจะสามารถกำจัดออกได้ [32]

การทดสอบการหมุนของโอล่าห์เงินหรือโอล่าห์เงินสเตอร์ลิง เป็นการวัดการเปลี่ยนแปลงสีโดยใช้ มาตรฐานของ CIE (The Commission International Del'Eclairage) และระบบ $L^*a^*b^*$ ซึ่งเป็นระบบสี ที่ครอบคลุมทุกสีที่ตามนิยมบ่มองเห็น ในระบบ CIE ได้กำหนดสเกลการวัดสีเป็น X-Y-Z ซึ่งใช้ บรรยายสีแดง (Red) เขียว (Green) และน้ำเงิน (Blue) แต่เนื่องจากระบบสีดังกล่าวไม่สามารถบรรยาย ถึงลักษณะความมืด-สว่างของสีได้ CIE ได้พัฒนาต่อมาเป็นระบบ X-Y-L ซึ่งบรรยายถึงค่าสีแดง สี เขียว และความสว่าง (Lightness) อย่างไรก็ตามระบบดังกล่าวก็ยังขาดส่วนที่บรรยายถึงค่าสีน้ำเงิน CIE จึงได้พัฒนาระบบสีจนเป็นระบบที่ยอมรับและใช้กันอย่างแพร่หลายในปัจจุบันคือระบบ $L^*a^*b^*$ ซึ่งเป็นระบบการบรรยายสีแบบ 3 มิติ ลักษณะการบรรยายสีของ CIE แสดงในรูปที่ 2.15 โดยที่แกน L^* จะบรรยายถึงความสว่าง จากค่า $+L^*$ แสดงถึงสีขาวจนไปถึง $-L^*$ แสดงถึงสีดำ แกน a^* จะบรรยาย ถึงสีเขียว $-a^*$ ไปจนถึงสีแดง $+a^*$ ส่วนแกน b^* จะบรรยายถึงสีน้ำเงิน $-b^*$ ไปยังสีเหลือง $+b^*$ ส่วนใน การวัดค่าต่างๆ จะอาศัยหลักการสะท้อนแสงจากผิวของวัตถุ โดยใช้เครื่องสเปกโตรโฟโตมิเตอร์ (Spectrophotometer) ทำการวัดค่าการเปลี่ยนแปลงสีก่อนและหลังการทดสอบของโอล่าห์เงินสเตอร์ลิง ซึ่งขึ้นอยู่กับตัวแปรต่างๆ ที่เกี่ยวข้อง เช่น ส่วนผสม ความละอิจของผิว โครงสร้างของโอล่าห์ผสม และเวลาที่ใช้ในการทดสอบ เป็นต้น



รูปที่ 2.15 ปริภูมิสีระบบ CIELAB [33]

ค่าการเปลี่ยนแปลงของสีและแสง อาจจะวิเคราะห์ได้ด้วยสายตาโดยตรง แต่เมื่อต้องการทราบค่าที่บอกเชิงปริมาณก็สามารถใช้เครื่องวัดค่าสี โดยใช้หลักการวัดค่า L^* , a^* และ b^* จากนั้นนำมาคำนวณหาค่าการเปลี่ยนแปลงของสีเทียบกับค่ามาตรฐาน หรือค่าสีของชิ้นงานก่อนการทดสอบตามสมการ [34]

$$DE^* = \sqrt{(L_2^* - L_1^*)^2 + (a_2^* - a_1^*)^2 + (b_2^* - b_1^*)^2}$$

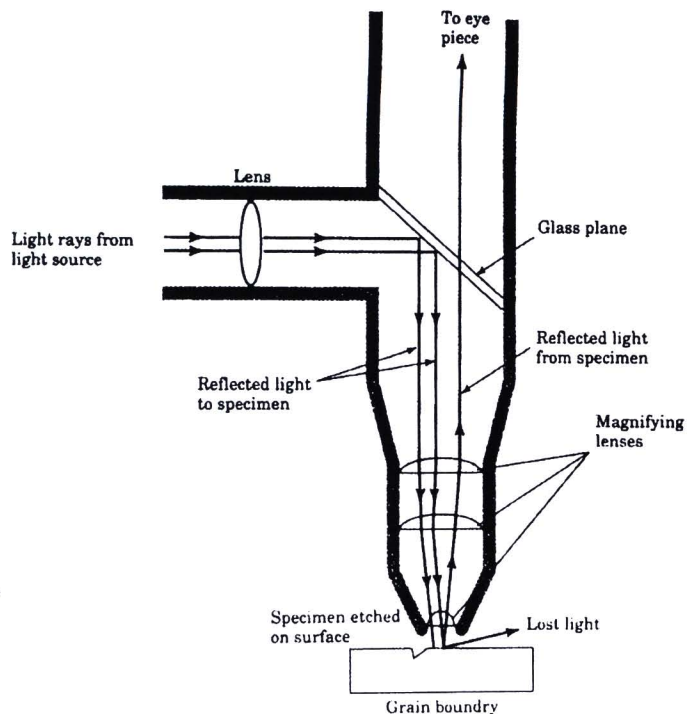
โดยที่ L_1^* และ L_2^* คือ ค่าความสว่างของชิ้นงานก่อนและหลังทดสอบตามลำดับ
 a_1^* และ a_2^* คือ ค่าสีแดง-เขียวของชิ้นงานก่อนและหลังทดสอบตามลำดับ
 b_1^* และ b_2^* คือ ค่าสีน้ำเงิน-เหลืองของชิ้นงานก่อนและหลังทดสอบตามลำดับ

2.8 การวิเคราะห์โครงสร้างจุลภาค

การวิเคราะห์โครงสร้างจุลภาค เป็นการศึกษาโครงสร้างเล็กๆ ของโลหะด้วยกล้องจุลทรรศน์เพื่อขยายครูป่างของเกรน อนุภาคที่เกิดขึ้น หรือสิ่งเจือปนต่างๆ ที่อยู่ในเนื้อโลหะหลังผ่านกระบวนการต่างๆ สามารถแบ่งการตรวจสอบโครงสร้างเป็น 2 แบบ คือ แบบมหภาค สามารถมองเห็นได้ด้วยตาเปล่า หรือใช้กล้องจุลทรรศน์ในการตรวจสอบ โดยจะมีกำลังขยายไม่เกิน 50 เท่า สามารถมองเห็นรอยร้าวรูพrun หรือลักษณะการซึ่อมได้ ส่วนการตรวจสอบโครงสร้างแบบจุลภาคจะใช้กล้องจุลทรรศน์ที่มีกำลังขยาย 50 เท่าขึ้นไป เพื่อดูลักษณะของเกรน หรือวัสดุขนาดเกรน เป็นต้น

กล้องจุลทรรศน์แบบแสง (Optical Microscope, OM) เป็นเครื่องมือที่ใช้ตรวจสอบโครงสร้างจุลภาค ที่อาศัยแสงจากแหล่งกำเนิดสะท้อนผ่านเลนส์วัตถุและตกลงบนผิวน้ำของชิ้นงานที่ผ่านการขัดมันมากย่างดี และสะท้อนผ่านกลับเข้าไปในเลนส์วัตถุและผ่านเข้าสู่ช่องมองภาพ จากหลักการทำงานของกล้องชนิดนี้จึงเป็นที่มาของชื่อกล้องจุลทรรศน์แสงสะท้อน (Reflected Light Microscope) หรือเรียกว่ากล้องจุลทรรศน์สำหรับงานโลหะวิทยา (Metallographic Microscope) [35]

จากรูปที่ 2.16 แสดงส่วนประกอบที่สำคัญของกล้องจุลทรรศน์แสง แหล่งกำเนิดแสงใช้หลอดไฟแรงคันต์ไส้ทำงานทั้งสeten แสงสว่างที่ออกมายจะวิ่งเข้าเลนส์ ซึ่งทำหน้าที่รวมแสงอยู่ในตำแหน่งของทางเดินแสง แล้ววิ่งไปกระทบกับผิวแก้ว ทำให้แสงสะท้อนเป็นนูน 90 องศา วิ่งไปกระทบกับชิ้นงานแล้วสะท้อนกลับเข้าชุดเลนส์ขยายตัวล่าง ซึ่งทำหน้าที่ในการรับแสงที่สะท้อนเข้ามาเกิดเป็นรูปภาพชิ้น จำแสงที่ผ่านการขยายจะถูกส่งไปขยายอีกครั้งที่ชุดเลนส์ตัวบนก่อนที่จะผ่านเข้าสู่ตาของผู้ตรวจสอบ

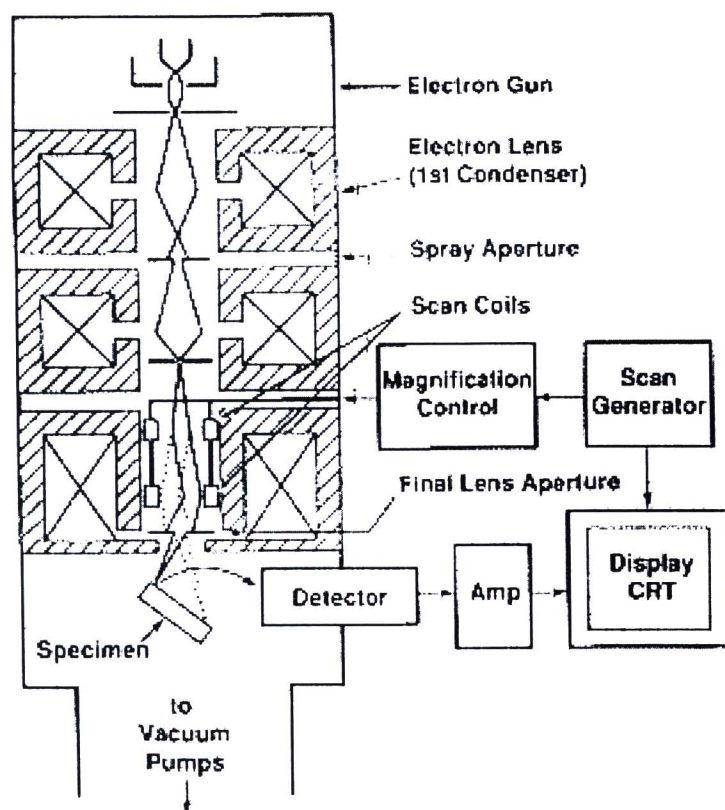


รูปที่ 2.16 ส่วนประกอบของกล้องจุลทรรศน์แสง [36]

กล้องจุลทรรศน์อิเล็กตรอนแบบส่องกราด (Scanning Electron Microscope, SEM) เป็นเครื่องมือที่ใช้ขยายวัตถุได้เช่นเดียวกับกล้องจุลทรรศน์แบบแสง สามารถแยกแยะรายละเอียดของภาพได้มากกว่า กล้องจุลทรรศน์แสง เนื่องจากมีกำลังแยกภาพ (Resolution) สูงกว่า ทั้งนี้เป็นเพราะอุปกรณ์ทั้งสองใช้แหล่งกำเนิดที่มีความยาวคลื่นต่างกัน กล้องจุลทรรศน์แบบแสงใช้คลื่นแสง ซึ่งมีความยาวคลื่นอยู่ในช่วง 400-700 นาโนเมตร ทำให้ไม่สามารถขยายวัตถุที่เล็กกว่า 0.2 ไมครอน ส่วนกล้องจุลทรรศน์อิเล็กตรอนแบบส่องกราดจะใช้สมบัติของคลื่นอิเล็กตรอน ซึ่งมีความยาวคลื่นสั้นกว่า ทำให้มีอำนาจแยกเฉียบถึง 0.2 นาโนเมตร และด้วยความสามารถในการบินลำอิเล็กตรอนให้เป็นมุมแคบๆ ได้ทำให้ได้ภาพที่มีความชัดลึกสูง นอกจากนี้ยังสามารถใช้ร่วมกับเทคนิคอื่นๆ เช่น Energy Dispersive Spectrometry (EDS) และ Wavelength Dispersive Spectrometry (WDS) เพื่อให้ข้อมูลเกี่ยวกับชนิดของธาตุองค์ประกอบทางเคมี

ส่วนประกอบที่สำคัญและลักษณะการทำงานของกล้องจุลทรรศน์อิเล็กตรอนแบบส่องกราดแสดงในรูปที่ 2.17 อิเล็กตรอนถูกสร้างขึ้นโดยใช้แหล่งกำเนิดอิเล็กตรอน (Electron Source) หรือ ปืนอิเล็กตรอน (Electron Gun) โดยอิเล็กตรอนจากแหล่งกำเนิดจะถูกเร่งให้เคลื่อนที่ลงมาตามคอลัมน์ ซึ่งภายในมีสภาพเป็นสุญญากาศด้วยความต่างศักย์ 0-30 กิโลโวลท์ (kV) โดยทิศทางการเคลื่อนที่จะถูก

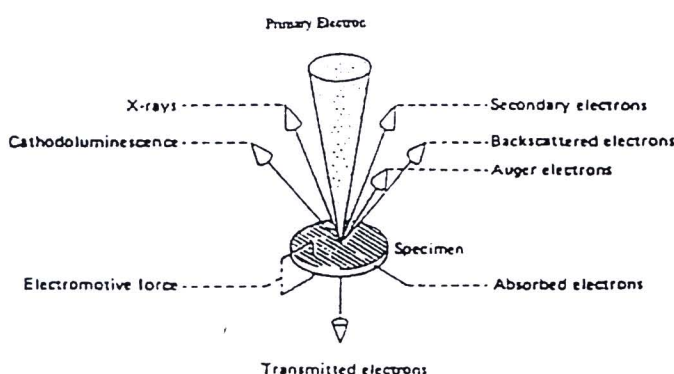
ควบคุมด้วยเลนส์แม่เหล็กไฟฟ้า (Electromagnetic Lens) 2 ชุดหรือมากกว่า และปริมาณของอิเล็กตรอนจะควบคุมโดย ช่องเปิด (Aperture) ซึ่งมีขนาดต่าง ๆ กันตามลักษณะการใช้งาน เลนส์คอนเดนเซอร์อันแรก (First Condenser Lens) นับเป็นองค์ประกอบที่มีความสำคัญสูงสุดต่อการควบคุมทัศนศาสตร์ของอิเล็กตรอน (Electron Optics) เมื่อจากเป็นเลนส์ที่ทำหน้าที่บีบลำอิเล็กตรอน ที่ส่งมาจากการแหล่งกำเนิดให้มีขนาดพื้นที่หน้าตัดเล็กลง ส่วนเลนส์วัตถุ (Objective Lens) ซึ่งเป็นเลนส์ที่อยู่บริเวณช่องปิดสุดท้าย (Final Lens Aperture) ทำหน้าที่โฟกัสลำอิเล็กตรอนไปตกกระทบกับผิวของวัตถุเป้าหมายโดยมีคอยล์วัดภาพ (Scan Coil) ทำหน้าที่ภาคลำอิเล็กตรอนบนผิววัตถุในกรอบ 4 เหลี่ยม คล้ายกับการภาวนของโทรทัศน์ ปฏิกริยาที่เกิดขึ้นอย่างชับช้อนในเนื้อสารของวัตถุ ตัวอย่างจะให้สัญญาณต่าง ๆ ออกมายາที่ประเททจะถูกตรวจสอบและนำไปแสดงผลต่อไป [37]



รูปที่ 2.17 ส่วนประกอบและลักษณะการทำงานของกล้องจุลทรรศน์อิเล็กตรอนแบบส่องภาพ [37]

สัญญาณอิเล็กตรอนในลักษณะต่างๆ ที่เกิดขึ้นจากอันตรกิริยา แสดงดังรูปที่ 2.18 โดยสัญญาณที่นำมาใช้ประโยชน์ได้แก่

- อิเล็กตรอนทุติกูมิ (Secondary Electrons, SE) เกิดจากอิเล็กตรอนปฐมภูมิ (Primary - Electrons) ไปชนอิเล็กตรอนที่ผิวตัวอย่างหลุดออกมายโดยจะหลุดออกจากการผิวตัวอย่างที่ความลึกจากพื้นผิวไม่เกิน 10 นาโนเมตร ความเข้มของอิเล็กตรอนทุติกูมิจะขึ้นกับมุมที่อิเล็กตรอนปฐมภูมิตกใส่และสภาพพื้นผิwtตัวอย่าง จะให้ภาพที่มีรายละเอียดสูง ภาพที่ได้เรียกว่า Secondary Electron Image (SEI)
- อิเล็กตรอนกระเจิงกลับ (Backscattered Electrons, BSE) คือ อิเล็กตรอนปฐมภูมิที่วิ่งเข้าไกล้วหรือเข้าชนนิวนิเคลียร์ของอะตอมบนผิwtตัวอย่างเกิดการเปลี่ยนทิศทางกระเจิงกลับออกมายังผิwtตัวอย่าง โดยอิเล็กตรอนกระเจิงกลับจะเกิดมากกับธาตุที่มีเลขอะตอมสูง ความเข้มของสัญญาณจะขึ้นกับมุมที่อิเล็กตรอนปฐมภูมิตกใส่ตัวอย่างและเลขอะตอมของธาตุที่ผิwtตัวอย่าง ภาพที่ได้จากอิเล็กตรอนกระเจิงเรียกว่า Backscattered Electron Image (BEI) หรือ Primary - Electron Image
- รังสีเอกซ์เดพาราตุ (Characteristic X-rays) เกิดจากการที่อิเล็กตรอนวงในของธาตุตัวอย่างถูกชนโดยอิเล็กตรอนปฐมภูมิจนหลุดออกไไป เกิดเป็นระดับขั้นพลังงานที่ว่าง ทำให้อิเล็กตรอนที่ระดับพลังงานสูงกว่าระดับพลังงานลง พร้อมกับปล่อยพลังงานในรูปรังสีเอกซ์ออกมารังสีเอกซ์ที่ได้จะมีรูปแบบเฉพาะตัวแตกต่างกันไปในแต่ละธาตุ เรียกว่า Characteristic X-rays ดังนั้น จึงสามารถวิเคราะห์ธาตุของค์ประกอบที่ผิwtตัวอย่างโดยอาศัยการวิเคราะห์พลังงานหรือความยาวคลื่นของ X-rays ที่เกิดขึ้น สำหรับอุปกรณ์ที่นิยมใช้คิดเข้ากับ SEM เรียกว่า Energy Dispersive Spectrometer (EDS) เพื่อวิเคราะห์ธาตุเชิงคุณภาพและปริมาณ



รูปที่ 2.18 สัญญาณอิเล็กตรอนที่เกิดขึ้นจากอันตรกิริยา [38]

2.9 การทดสอบสมบัติทางความร้อนโดยวิธี Difference Thermal Analysis

Difference Thermal Analysis (DTA) เป็นเครื่องมือวิเคราะห์เชิงความร้อน โดยวัดอุณหภูมิในรูปของอุณหภูมิที่ต่างกันระหว่างสารตัวอย่าง (Sample) กับสารอ้างอิง (Reference) ในระหว่างการให้ความร้อนอุณหภูมิของตัวอย่างเปลี่ยนแปลงในลักษณะการดูดความร้อน (Endothermic) หรือการขายความร้อน (Exothermic) เนื่องจากการเปลี่ยนแปลงระดับพลังงานภายใน (Enthalpic Transition) เช่น การเปลี่ยนเฟส การละลาย การเปลี่ยนแปลงโครงสร้างผลึก การหาจุดเดือดของสาร การเผาไหม้ การระเหย การคายน้ำ การแตกตัว กระบวนการ Oxidation Reduction และปฏิกิริยาเคมีต่างๆ เป็นต้น การเปลี่ยนแปลงอุณหภูมิถูกตรวจแล้วบันทึกเป็นกราฟ [39]

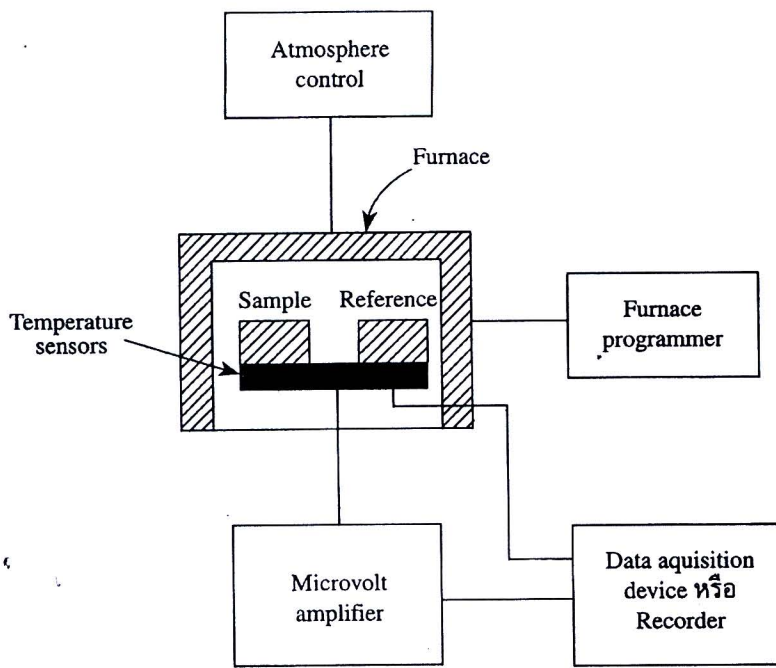
ในรูปที่ 2.19 แสดงลักษณะการทำงานของ DTA สารตัวอย่างและสารอ้างอิงจะถูกให้ความร้อนจากแหล่งพลังงานที่เดียวกันและความแตกต่างของอุณหภูมิ (ΔT) ระหว่างชีนงานตัวอย่างและชีนงานอ้างอิงจะถูกบันทึกเมื่อเริ่มให้ความร้อน ถ้าอุณหภูมิของชีนงานตัวอย่างต่ำกว่าชีนงานอ้างอิง แสดงว่าเกิดการเปลี่ยนแปลงแบบดูดความร้อน แต่ถ้าอุณหภูมิของชีนงานตัวอย่างสูงกว่าชีนงานอ้างอิงแสดงว่าเกิดการเปลี่ยนแปลงแบบขายความร้อน [40] ความแตกต่างของอุณหภูมิสามารถคำนวณได้ดังสมการนี้

$$T_S - T_R = \Delta T$$

โดยที่ T_S คือ อุณหภูมิของสารตัวอย่าง
 T_R คือ อุณหภูมิของสารอ้างอิง

ส่วนประกอบหลักของ DTA [40] ดังนี้

- เครื่องวัดอุณหภูมิ (Thermocouple) นิยมใช้ Pt - Pt/Rh หรือ Ni - Ni/Cr มีขนาดเส้นผ่าศูนย์กลางประมาณ 0.1 ถึง 0.3 มิลลิเมตร
- ถ่วงไส้ตัวอย่างและสารอ้างอิง ทำจากวัสดุที่มีสมบัติเฉื่อยต่อการเปลี่ยนแปลงในช่วงอุณหภูมิที่ทดลอง และมีค่าสัมประสิทธิ์การนำความร้อน (Thermal Conductivity) สูงเพื่อให้สามารถนำความร้อนสู่ชีนงานตัวอย่าง หรือสารอ้างอิงได้ดี
- ควบคุมบรรยายกาศในการทดลอง โดยการใช้ก๊าซเนื้อyle ปกคุณ



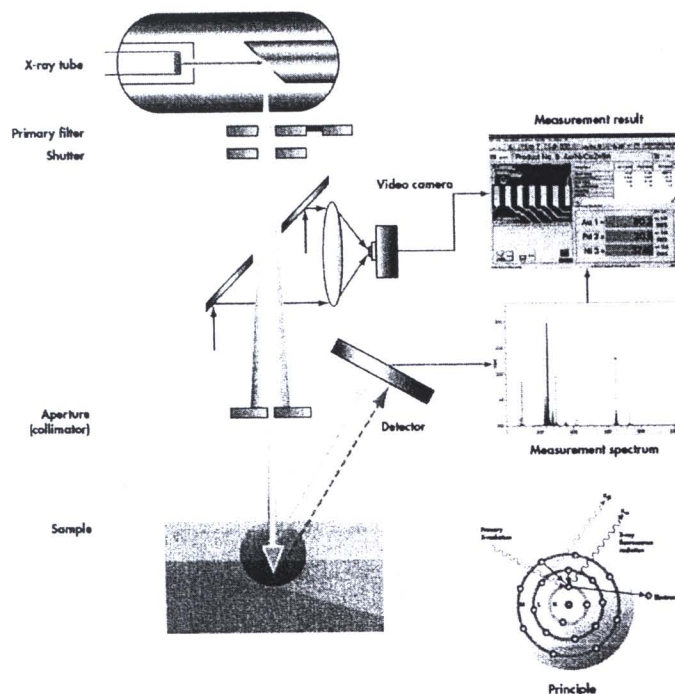
รูปที่ 2.19 ลักษณะการทำงานของ DTA [40]

2.10 การวิเคราะห์หาปริมาณธาตุด้วยวิธี ICP-OES

Inductive Coupled Plasma (ICP-OES) เป็นเครื่องมือที่ใช้วิเคราะห์หาปริมาณธาตุที่มีประสิทธิภาพสูง สามารถตรวจจับความเข้มข้นในระดับมิลลิกรัมต่อลิตร และบางธาตุอาจถึงในโครกรัมต่อลิตร มีช่วงการตรวจวัดกว้าง สามารถตรวจสอบได้หลายธาตุในคราวเดียวกัน ลักษณะองค์ประกอบของเครื่องมือแสดงดังรูปที่ 2.20 สำหรับหลักการทำงานของเครื่องที่สำคัญ คือ คบพลาสม่า (Torch) ซึ่งประกอบด้วยหลอด 3 ชั้น ทำจากภาชนะหรือวัสดุอื่นที่เหมาะสม ที่บริเวณส่วนปลายมีขดลวดทองแดง เรียกว่า Load Coil ล้อมรอบอยู่ ซึ่งต่อ กับเครื่องกำเนิดคลื่นความถี่วิทยุ มีปล่องพลังงานจากคลื่นความถี่วิทยุช่วง 700-1,500 วัตต์ เข้าไปในขดลวด ทำให้เกิดกระแสไฟฟ้าขึ้นหรือเกิดการสั่นด้วยอัตราเร็วเท่ากับความถี่ของคลื่นความถี่วิทยุ ในเครื่อง ICP-OES ส่วนมากใช้ความถี่ 27 หรือ 40 เมกะヘルتز การสั่นนี้ทำให้เกิดสนามแม่เหล็กขึ้นที่บริเวณปลายคบ ทำให้เกิดการซักนำให้กระแสไฟฟ้าไหลผ่านตัวนำ แล้วทำให้ตัวนำเกิดความร้อนขึ้น เมื่อก๊าซอาร์กอนไหลผ่านเข้าไปในแนวตั้งจากเพื่อให้เกิดการหมุนไปรอบคบพลาสม่าซึ่งไม่เป็นตัวนำไฟฟ้าที่อุณหภูมิห้อง จึงจำเป็นต้องทำให้เป็นตัวนำด้วยการทำให้เกิดประกายในก๊าซอาร์กอนก่อน เพื่อทำให้ก๊าซอาร์กอนแตกตัวให้อิเล็กตรอนเกิดขึ้น สนามแม่เหล็กช่วยเร่งให้อิเล็กตรอนเคลื่อนที่ได้เร็วขึ้น ประกอบกับมีขดลวดทองแดง จึงทำให้อิเล็กตรอนมีพลังงานเพิ่มขึ้น เรียกว่าเกิด Inductive Coupling อิเล็กตรอนที่มี

2.11 การวิเคราะห์ปริมาณธาตุด้วยเทคนิค X-ray Fluorescence Analysis

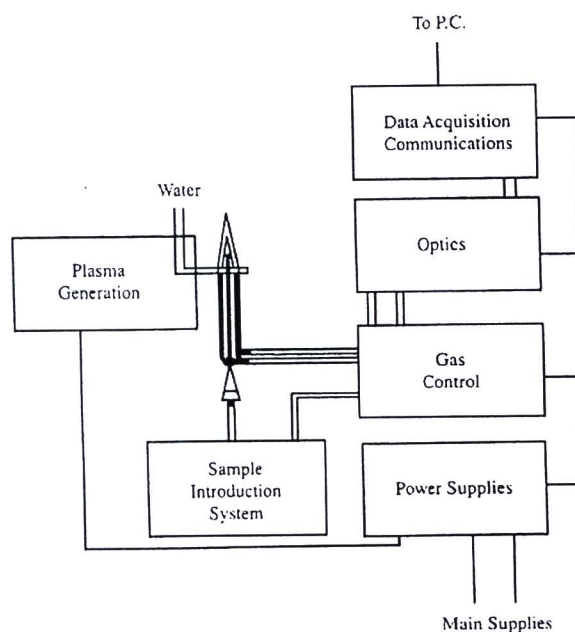
เอ็กซ์เรย์ฟลูออเรสเซนต์ อาศัยการเคลื่อนที่ของอิเล็กตรอนในรูปแบบของลำแสงในย่านรังสีเอ็กซ์ที่กำเนิดจาก X-ray Tube อาศัยความต่างศักย์ของแรงดันไฟฟ้า ทำให้อิเล็กตรอนเคลื่อนที่จากแรงดันไฟฟ้าต่ำไปหาแรงดันไฟฟ้าสูงในย่านรังสีเอ็กซ์ จากนั้นรังสีถูกบังคับให้ตกรอบบนชิ้นงาน ทำให้เกิดการ Ionization คือ เมื่ออิเล็กตรอนในธาตุต่างๆ ถูกพลังงานจากภายนอกกระทำ จะทำให้อิเล็กตรอนของธาตุนั้นๆ หลุดออกจากวงโคจร เมื่ออิเล็กตรอนชั้น K (K-Shell) หลุดออกไป ธาตุนั้นๆ (อะตอม) จะต้องมีการรักษาสมดุลหรือถ่ายพลังงาน โดยมีการระดูดของอิเล็กตรอนจากชั้นอื่นมาแทนที่เท่ากับปริมาณของอิเล็กตรอนที่สูญเสียไป จากพฤติกรรมนี้จึงทำให้เกิดการปลดปล่อยรังสีในระหว่างกระโดดขั้นชั้น ทำให้เกิดการเปล่งรังสีย่านรังสีเอ็กซ์ออกมา จากรูปที่ 2.21 แสดงแผนภาพของการวิเคราะห์ปริมาณธาตุด้วยเทคนิค XRF และรูปที่ 2.22 แสดงพฤติกรรมการเกิดรังสีเอ็กซ์ โดยรังสีที่แผ่出去น้านนแสดงลักษณะเฉพาะของธาตุนั้นๆ ออกมา รวมถึงปริมาณของโลหะที่อ้างอิงจากความเข้มของรังสี ซึ่งสามารถตรวจจับได้ด้วยตัวตรวจจับพลังงาน (Detector) แล้วแสดงออกมายในรูปกราฟพลังงานหรือเรียกว่า สเปกตรัม (Spectrum) ความละเอียดของสเปกตรัมนี้ขึ้นอยู่กับตัวตรวจจับพลังงาน หลังจากนั้นจะประมวลผลสเปกตรัมด้วยโปรแกรม เมื่อเปรียบเทียบสเปกตรัมได้ผลแล้ว ค่าการวิเคราะห์แสดงในรูปเบอร์ลัล [43]



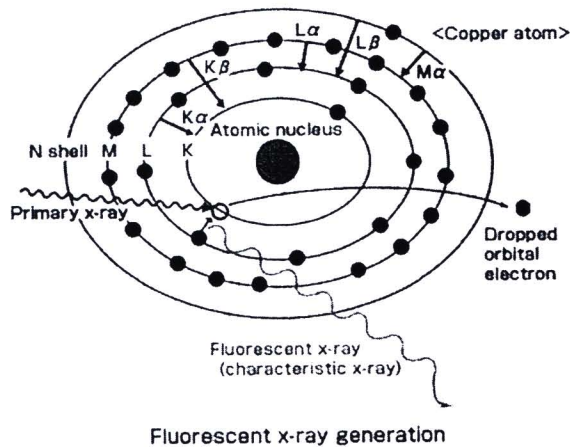
รูปที่ 2.21 แผนภาพของการวิเคราะห์ปริมาณธาตุด้วยเทคนิค XRF [44]

พลังงานสูงจะชนกับอะตอมของก๊าซอาร์กอน ทำให้เกิดอิเล็กตรอนมากขึ้นเป็นปฏิกิริยาลูกโซ่ กลไกเป็นพลาสma จึงเรียกว่า Inductively Coupled Plasma (ICP) การปล่อยประจุจากพลาสมานี้จะให้ความร้อนที่อุณหภูมิประมาณ 1,000-10,000 เคลวินและมีความเสถียรเมื่อใช้กำลังไฟฟ้า 1-2 กิโลวัตต์ [41, 42]

ตัวอย่างที่จะวิเคราะห์จะถูกทำให้เป็นสารละลาย โดยสารละลายจะถูกเปลี่ยนให้เป็นละอองเล็กๆ โดยกระบวนการ Nebulization ผ่าน Peristaltic Pump เข้าไปยังพลาสมาของ ICP Torch สารละลายตัวอย่างที่จะวิเคราะห์เมื่อได้รับพลังงานสูงจะเกิดการสลายตัวเป็นอะตอมและอะตอมจะถูกกระตุ้น (Excited) ไปยังสถานะกระตุ้นและบางส่วนกลไกเป็นไอออนเรียกว่าเกิดอนุภาค (Atomization) และการเกิดไอออน (Ionization) อะตอมหรือไอออนที่ถูกกระตุ้นจะปล่อยแสงออกมามีลักษณะเฉพาะตัว โดยมีความยาวคลื่นของแสงโดยเฉพาะ (Characteristic) โดยมีความยาวคลื่นของแสงโดยเฉพาะ แสงที่เกิดขึ้นนี้จะผ่านเข้าไปในเครื่องสเปกโตรมิเตอร์ เพื่อแยกอาณิพะแสงที่มีความยาวคลื่นของธาตุที่ต้องการวิเคราะห์แล้วให้แสงดังกล่าวตกลงบนดีเทกเตอร์เพื่อวัดออกมารูปสัญญาณ ซึ่งมีความสัมพันธ์กับความเข้มข้นของสารละลายที่วัด ในการควบคุมแต่ละขั้นตอน ตลอดจนการเก็บข้อมูลและการประมวลผลจะทำด้วยเครื่องคอมพิวเตอร์ [41, 42]



รูปที่ 2.20 แผนภาพส่วนประกอบที่สำคัญของเครื่อง ICP-OES [42]



รูปที่ 2.22 พฤติกรรมการเกิดรังสีเอ็กซ์ [45]

ข้อดีของเทคนิค XRF

- การวิเคราะห์ทำได้ง่าย และสะดวกรวดเร็ว
- การเตรียมชิ้นงานไม่ยุ่งยาก
- ชิ้นงานไม่ถูกทำลาย
- วิเคราะห์ได้หลายธาตุพร้อมกัน
- มีค่าใช้จ่ายในการวิเคราะห์ต่ำกว่าเทคนิค Assay, ICP-OES
- วิเคราะห์ชิ้นงานหลายรูปแบบได้ เช่น ของแข็ง ของเหลว และผง เป็นต้น
- ความถูกต้องของการวิเคราะห์ร้อยละ 0.5

ข้อเสียของเทคนิค XRF

- ผู้ใช้ต้องมีพื้นฐานความรู้ทางโลหะวิทยา เพื่อช่วยให้การวิเคราะห์ชาตุมีความถูกต้องมากขึ้น
- ต้องมีโลหะมาตรฐานในการอ้างอิง
- ไม่สามารถวิเคราะห์ส่วนผสมของชิ้นงานที่ผ่านการซับ ที่มีความหนาเกิน 10 ไมครอน

2.12 ผลงานวิจัยที่เกี่ยวข้อง

ฉัตรลักษณ์ วรรณทอง [46] ได้ศึกษาส่วนผสมทางเคมีของมาสเตอร์อัลลอยทองแดง ซึ่งนำเข้าจากต่างประเทศและไม่ทราบส่วนผสมจำนวน 6 ชนิด โดยเลือกมาจากปริมาณการใช้งานสูงสุดของผู้ผลิตเครื่องประดับเงินสเตอร์ลิงแห่งหนึ่ง พบว่า มีส่วนผสมของทองแดง สังกะสี ชิลิคอน ดีบุก อะลูมิเนียม แมกนีเซียม เจอร์เมเนียม และอินเดียม ในปริมาณที่แตกต่างกัน การวิเคราะห์ใช้เทคนิค ICP-OES และความแข็งของเงินสเตอร์ลิงที่ใช้มาสเตอร์อัลลอยทองแดง A-F มีค่า 75-86 วิกเกอร์ แสดงในตารางที่ 2.5

ตารางที่ 2.5 ผลการวิเคราะห์ส่วนผสมทางเคมีของมาสเตอร์อัลลอยทองแดง โดยเทคนิค ICP-OES ‘และผลความแข็งของเงินสเตอร์ลิงที่ใช้มาสเตอร์อัลลอยทองแดง A-F [46]

ชนิดของ อัลloy	ชนิดและปริมาณของธาตุ (ร้อยละโดยน้ำหนัก)									ความแข็ง ของเงิน สเตอร์ลิง (วิกเกอร์)
	Cu	Zn	Si	Sn	Al	Mg	P	Ge	In	
A	68.25	31.09	0.043	0.470	0.004	0.001	trace	-	0.051	81
B	63.23	35.36	0.980	0.160	-		-	1.39	0.168	78
C	66.65	31.68	0.464	0.480	-		trace	-	0.342	81
D	65.57	31.58	0.588	-	0.235		trace	-	0.165	75
E	69.75	29.38	0.009	0.350	0.007		trace	-	-	78
F	85.04	14.23	0.009	0.034	-		trace	-	0.013	86

หมายเหตุ Trace หมายถึง ปริมาณที่วิเคราะห์ได้มีค่าต่ำกว่า 0.0001 มิลลิกรัม

สริพร ใจนันต์ และคณะ [47] พบว่า อินกอตของเงินสเตอร์ลิงที่มีส่วนผสม Ag-6.0Cu-0.3Sn มีค่าความแข็งเฉลี่ย 73 วิกเกอร์ และจากการวิจัยของเกรгор วาทัญญ และคณะ [17] พบว่า การเติมดีบุกปริมาณร้อยละ 0.12-0.47 โดยน้ำหนัก แทนที่ปริมาณของทองแดงในโลหะเงินสเตอร์ลิงที่มีส่วนผสม Ag-7Cu ทำให้มีค่าความแข็งอยู่ระหว่าง 81-87 วิกเกอร์

จากข้อมูลสิทธิบัตรหมายเลข 2005/0211342 ของ Menon [48] รายงานว่า การศึกษาการเติมแมงกานีส ในโลหะเงินสเตอร์ลิง เพื่อเพิ่มความแข็งในงานหล่อ และในกระบวนการทางความร้อน รวมทั้งเพื่อลดการเกิดออกไซซ์ดของทองแดง ลดการเกิดช่องว่าง รูพรุน ลดขนาดเกรน พบว่าส่วนผสมที่เหมาะสม ประกอบด้วย $(92.5-92.8)Ag-(2.0-3.0)Cu-(2.0-3.0)Zn-(0.03-0.05)In-(0.01-0.03)Sn-(0.2-0.5)(98Cu-2B)-(0.5-0.9)(90Cu-10Si)-(0.01-0.1)Mn$ หรือ $0.3(70Cu-30Mn)$ หน่วยเป็นร้อยละ โดยน้ำหนัก

เอกสารนี้ นิสารตันพรและศิริรัตน์ นิสารตันพร [5] พบว่า อิทธิพลในการเติมธาตุอินเดียม ชิลิคอนและแมงกานีส มีผลต่อโลหะเงินสเตอร์ลิง เมื่อผสมอินเดียมที่ปริมาณร้อยละ 2 โดยน้ำหนัก พบว่าความแข็งลดลงและความด้านแรงดึงลดลง และการเติมธาตุอินเดียมเพียงอย่างเดียวไม่ช่วยเพิ่มความด้านทานการหมอย การเติมธาตุชิลิคอนปริมาณที่เหมาะสมควรอยู่ในช่วงร้อยละ 0.02-0.20 โดยน้ำหนักสามารถปรับปรุงความแข็ง ความแข็งแรง ความเหนียวและความด้านทานการหมอยได้ การเติมธาตุแมงกานีส ร้อยละ 1.3-3.0 โดยน้ำหนัก มีผลในความด้านทานการหมอยที่ดี แต่ถ้าแมงกานีสสูงขึ้นตั้งแต่ร้อยละ 1.7 โดยน้ำหนัก จะทำให้สมบดิทางกลลดลง สะดวกในการทดสอบความด้านทานการหมอย คือ การตั้งชั้นงานทดสอบในบรรยากาศของสารละลายอื่นตัวโซเดียม ชั้ตไฟฟ์ ใช้เวลาในการทดสอบต่างกันขึ้นอยู่กับธาตุที่เติมลงไป

ณรงค์ฤทธิ์ สนใจธรรม และคณะ [49] พบว่า การเติมทองแดงมีผลในการเพิ่มความแข็งให้กับเงินสเตอร์ลิง แต่การเติมอินเดียมและฟอฟอรัสทำให้ความแข็งเพิ่มขึ้นไม่นักเมื่อเทียบกับเงินสเตอร์ลิงที่มีเฉพาะทองแดง แต่มีปริมาณฟอฟอรัสเพิ่มขึ้นจากร้อยละ 0.018 เป็น 0.074 และ 0.097 โดยน้ำหนัก ทำให้ความแข็งมีแนวโน้มเพิ่มขึ้น แสดงในตารางที่ 2.6 ส่วนผสมทางเคมีได้จากการวิเคราะห์ด้วยเทคนิค ICP

จากข้อมูลสิทธิบัตรหมายเลข 5,021,214 ของ Sasaki และ Nishiya [50] จ้างว่า การเติมธาตุอินเดียมร้อยละ 0.2-9.0 โดยน้ำหนัก และอะลูมิเนียมร้อยละ 0.02-2.0 โดยน้ำหนัก ทดแทนธาตุแพลเลเดียม ซึ่งมีราคาแพงใน โลหะเงินผสมแพลเลเดียม ($Ag-Pd$) สามารถปรับปรุงสมบดิทางกล และความด้านทาน การเปลี่ยนสี (Discolorations Resistance) หรือความด้านทานการหมอยของเงินสเตอร์ลิงในอุตสาหกรรมเครื่องประดับ อุปกรณ์ตกแต่งบ้าน รวมถึงเครื่องใช้ในครัวเรือน นอกจากนี้ยังเติมธาตุผสมอื่นๆ เพื่อปรับปรุงสมบดิทางกล ได้แก่ $(0.3-3.0)Cu$, $1.6Cd$, $1.0Sn$, $(1.0-3.0)Ga$ และ $(1.5-1.7)Zn$

ตารางที่ 2.6 ปริมาณส่วนผสมทางเคมีจากการวิเคราะห์ด้วยเทคนิค ICP และความแข็งของเงินสเตอร์ลิง [49]

ปริมาณธาตุผสม(ร้อยละ โดยน้ำหนัก)				ความแข็งของเงินสเตอร์ลิง (วิกเกอร์)
Ag	Cu	P	In	
Balance	2.998	-	-	50.00
Balance	4.987	-	-	55.67
Balance	5.898	-	-	73.33
Balance	5.129	0.018	0.931	53.80
Balance	5.700	0.074	0.997	58.63
Balance	6.122	0.097	0.995	61.27

จากสิทธิบัตรหมายเลข 7,198,683 B2 ของ Dwarika และ Grigory [51] ข้างว่า ส่วนผสมทางเคมีที่เหมาะสมของเงินสเตอร์ลิงเพื่อเพิ่มความต้านทานการ蝕化และความแข็ง แสดงในตารางที่ 2.7 พบว่า ส่วนผสมทางเคมี มีหน่วยเป็นร้อยละ โดยน้ำหนัก ประกอบด้วยชาตุทองแดงร้อยละ 1.43-5.25 สังกะสี ไม่เกินร้อยละ 5.94 ดีบุกไม่เกินร้อยละ 0.85 ลิเทียมไม่เกินร้อยละ 0.05 ซิลิคอนร้อยละ 0.05-0.5 และ เจอร์เมเนียมไม่เกินร้อยละ 0.50 ได้แบ่งระดับการ蝕化ของเงินสเตอร์ลิง (Tarnish Rate) ตามค่าการเปลี่ยนแปลงสี (DE*) เป็นเกณฑ์ไว้ 5 ระดับ ตั้งแต่ระดับ 0 ถึง 5 ระดับ 0 หมายถึงเงินสเตอร์ลิงไม่蝕化 มีค่า DE* เท่ากับ 14-19 ระดับ 5 หมายถึงเงินสเตอร์ลิง蝕化ที่สุด มีค่า DE* เท่ากับ 30-40 จากสิทธิบัตรนี้ กำหนดค่าการ蝕化ที่ยอมรับได้ไม่เกินระดับ 3.5 นั่นคือค่า DE* มีค่าไม่เกิน 25 ทดสอบ ในบรรยาศาสของสารละลายแอนโนเนียมชัลไฟฟ์ที่มีความเข้มข้น 650 มิลลิกรัมต่อลิตร ที่อุณหภูมิ 66 องศาเซลเซียส เป็นเวลา 6 นาที

Peter [4] ได้รายงานว่าการเติมเจอร์เมเนียมร้อยละ 2-4 โดยน้ำหนัก ในโลหะเงินสเตอร์ลิงช่วยเพิ่ม ความต้านทานการ蝕化ได้ แต่ไม่ช่วยในการเพิ่มความแข็ง และพบว่าปริมาณเจอร์เมเนียมร้อยละ 7.5 โดยน้ำหนัก ทำให้เกิดปัญหาการแตกร้าวในการรีดขึ้นรูป ปริมาณเจอร์เมเนียมที่เหมาะสมในการเติม คือ ร้อยละ 1.1 โดยน้ำหนัก เนื่องจากเจอร์เมเนียมมีผลให้เกรนของงานหล่อมีขนาดใหญ่ ทำให้สมบัติ ทางกลลดลง เพราะขนาดเกรนที่ใหญ่จะทำให้โลหะอ่อนลง จึงต้องเติมโลหะเพื่อทำหน้าที่ลดขนาด เกรน ช่วยให้เกรนมีขนาดเล็กลง โดยเติมจากมาสเตอร์อัลลอยของทองแดงมีโลหะร้อยละ 2 โดยน้ำหนัก

ตารางที่ 2.7 ส่วนผสมทางเคมี ความแข็ง ระดับความหนองและค่าการเปลี่ยนแปลงสีของเงินสเตอร์ลิง
จากสิทธิบัตรหมายเลข 7,198,683 B2 [51]

ปริมาณของธาตุ (ร้อยละ โดยน้ำหนัก)								สมบัติ		
Ag	Cu	Zn	Sn	Li	Si	Ge	B	ความแข็ง (วิกเกอร์)	ระดับความ หนอง	ค่าการเปลี่ยนแปลงสี (DE*)
92.70	7.30	0	0	0	0	0	0	75	5.0	30-40
92.70	7.23	0	0	0	0.07	0	0	75	5.0	30-40
92.50	5.47	1.79	0	0	0	0.24	0	75	5.0	30-40
92.50	4.66	2.23	0.51	0	0.10	0	0	65	3.5	20-24
92.50	2.96	4.40	0	0	0.14	0	0	59	4.0	25-29
92.50	2.00	5.36	0	0	0.14	0	0	55	3.5	20-24
92.50	1.43	5.94	0	0	0.14	0	0	55	3.0	14-19
92.70	6.40	0	0.85	0.05	0	0	0	70	4.0	25-29
93.40	6.20	0	0.32	0.08	0	0	0	56	4.0	25-29
93.35	5.70	0	0.85	0.10	0	0	0	55	4.0	25-29
93.25	5.70	0	0.85	0.20	0	0	0	56	4.0	25-29
93.15	5.70	0	0.85	0.30	0	0	0	58	4.0	25-29
92.70	5.40	1.00	0.85	0.05	0	0	0	71	4.0	25-29
92.60	5.25	0.65	0.85	0.05	0.10	0.50	0	70	3.0	14-19
92.60	5.25	0.70	0.85	0.05	0.05	0.50	0	70	3.0	14-19
92.70	5.00	0.20	0.85	0.05	0	1.20	0	60	4.0	25-29
92.70	5.00	0.70	0.85	0.05	0.20	0.50	0	60	3.0	14-19
92.70	5.00	0.90	0.85	0.05	0.50	0	0	66	3.5	20-24

Reti [52] พบว่า การเคลือบธาตุสังกะสี หรือธาตุเจือร์เมเนียมปริมาณน้อย ในเงินสเตอร์ลิงสามารถลดปัญหาคราบดำแดงที่เกิดจากออกไซด์ของทองแดง (Fire Stain) ได้ และจากสิทธิบัตรหมายเลข 4,973,446 ของ Bernhard และ Sivertsen [7] ได้ทำการปรับปรุงส่วนผสมของโลหะเงินสเตอร์ลิง ซึ่งส่วนผสมทางเคมีที่เหมาะสม ประกอบด้วย Ag-0.5Cu-4.25Zn-0.02In-0.48Sn-1.25(Cu-2B) และ 1(Cu-10Si) (หน่วยเป็นร้อยละ โดยน้ำหนัก) เพื่อลดปัญหาในการเกิดสารประกอบออกไซด์ของทองแดง การลดขนาดครุพุน และลดขนาดของเกรน

สุรัตน์ วรรณศรี และคณะ [9] ได้ศึกษาร่วมกันข้อมูล พบว่าราคุสังกะสี ชิลลิกอน และอินเดียม มีผลต่อการไหลตัวของน้ำโลหะขณะหลอมเหลวและการปรับปรุงคุณภาพของผิวชิ้นงานหล่อ โดยราคุเหล่านี้ช่วยปรับปรุงสมบัติ ทำให้น้ำโลหะสามารถไหลเข้าโครงแบบได้ดียิ่งขึ้น การแข็งตัวของโลหะจากของเหลวเป็นของแข็งมีความต่อเนื่องอย่างสมดุล และช่วยป้องกันการเกิดความไม่สม่ำเสมอของราคุในโครงสร้าง (Core Structure) และช่วยปรับปรุงผิวชิ้นงานหล่อให้มีความเรียบ ความแข็งงานขึ้น

จากการศึกษางานวิจัยที่เกี่ยวข้องและข้อมูลจากสิทธิบัตรข้างต้น พบว่าการเติมราคุต่างๆ มีผลต่อสมบัติทางกล ได้แก่ ความแข็ง ความต้านแรงดึงและร้อยละการยึดตัว สมบัติด้านความต้านทานการหมุน การเติมราคุผสมบางชนิดสามารถเพิ่มความแข็งควบคู่กับการเพิ่มความต้านทานการหมุนได้ซึ่งการศึกษาเกี่ยวกับราคุผสมที่ซื้อหาได้ตามห้องตลาดเพื่อผสมในเงินสเตอร์ลิงยังมีไม่นักนัก ดังนั้น จึงเป็นที่น่าสนใจอย่างยิ่งที่จะทำการพัฒนาส่วนผสมเพื่อเพิ่มความแข็งโดยการเติมราคุผสมในเงินสเตอร์ลิงโดยมีส่วนผสมที่แตกต่างจากงานวิจัยที่ผ่านมา เพื่อให้ได้ส่วนผสมของเงินสเตอร์ลิงที่มีความแข็งเพิ่มขึ้น และไม่เสียสมบัติด้านความต้านทานการหมุน และสามารถลดขั้นตอนการเพิ่มความแข็งให้เหลือเพียงขั้นตอนการหล่อเพียงอย่างเดียว ทำให้สามารถนำไปใช้งานในภาคอุตสาหกรรมเครื่องประดับ นอกจากนี้ยังได้มารังสรรค์ความรู้ในการทำวิจัยและเป็นแนวทางในการพัฒนาต่อไป